

Resumen Situación sinóptica

Junio de 2026

Junio de 2026

Los patrones sinópticos y las características principales del régimen de lluvias durante el mes de Junio fueron los siguientes:

- El **régimen de precipitación en Colombia** se caracterizó por una **anomalía negativa extensa y marcada a escala nacional**. Este déficit generalizado fue consecuencia de un ambiente sinóptico dominado por la estabilidad y el transporte de aire seco. No obstante, se registraron **excesos puntuales y aislados significativos** en el nororiente y centro-norte de la región Caribe, sectores específicos de la región Andina (norte, centro y sur), el suroriente de la región Pacífica, y en porciones del occidente y centro-sur de la Amazonía. A pesar de que el déficit de lluvias fue el patrón predominante, la severa inestabilidad local generó eventos de lluvia extrema que **superaron los récords históricos en 21 estaciones de monitoreo del territorio nacional**.
- En el **ámbito térmico**, junio experimentó un **calentamiento diurno excepcional**. Un total de **34 de las 35 ciudades principales registraron temperaturas máximas por encima de su promedio multianual**, y se reportaron **nuevos récords históricos de calor en 36 estaciones** de monitoreo; por el contrario, solo una ciudad reportó condiciones de normalidad. Por su parte, las **temperaturas mínimas** en las zonas con mayor susceptibilidad a heladas evidenciaron un **comportamiento predominantemente cálido**, donde 16 de las 19 estaciones monitoreadas registraron anomalías positivas y una se mantuvo dentro de la normalidad climatológica. Esta configuración favoreció una reducción del riesgo generalizado de heladas, aunque la persistencia de dos anomalías negativas aisladas en Boyacá mantuvo el riesgo latente de forma muy localizada; además, se rompieron **dos récords históricos de temperatura mínima**.
- Los **patrones de la circulación atmosférica** durante junio explicaron la coexistencia del déficit hídrico generalizado con los picos de lluvia extrema localizados. El rasgo sinóptico dominante fue el **fortalecimiento del flujo zonal de los Alisios** (vientos del Este y Sureste con velocidades muy importantes) que se extendió de manera profunda desde la capa límite hasta la tropósfera media (850 a 500 hPa). Este chorro rectilíneo actuó como un potente mecanismo de **barrido horizontal de la humedad**. En la franja septentrional del país, a pesar de que las anomalías débiles en 700 y 500 hPa reducían la cizalladura dinámica favoreciendo el ascenso de aire, la **convección fue bloqueada** termodinámicamente por la intrusión de aire seco y Polvo del Sahara, intensificado por un jet de bajo nivel en 850 hPa sobre el Caribe marítimo. En marcado contraste, el patrón que sustentó los eventos de **lluvia extrema locales** estuvo gobernado por la **Baja Anclada de Panamá** en la baja tropósfera, la cual forzó la confluencia de vientos del Este hacia el interior continental sobre una Amazonía con anomalías débiles y en calma. Este ascenso de aire en capas bajas fue eficientemente ventilado en la **alta tropósfera (200 hPa) por una franja de difluencia y divergencia de escala local** en el centro y sur del país, asociada a vientos anómalos de componente Oeste y Suroeste. Sin embargo, dado que el **flujo superior se desaceleró** linealmente de occidente a oriente, se consolidó una subsidencia dinámica de gran escala que actuó como el principal inhibidor de las lluvias estacionales a nivel nacional, **limitando la actividad convectiva a eventos transitorios y muy localizados**.
- A **escala sinóptica**, la **onda intraestacional (MJO)** se mantuvo en su **fase convectiva durante los primeros 11 días** del mes, brindando un soporte húmedo inicial, para luego dar paso a una fase subsidente prolongada que inhibió la convección en la mayor parte del país. El **déficit hídrico en el norte** fue acentuado por el **gradiente de presión** entre las altas presiones subtropicales y la Baja del Darién, el cual impulsó la formación de jets de bajo nivel de componente Este en el Caribe. Estos vientos no solo barrieron mecánicamente la humedad, sino que facilitaron la **incursión de aire seco y la advección de Polvo del Sahara**, suprimiendo la nubosidad en la franja norte. No obstante, los **picos de lluvia extrema observados** durante el mes fueron detonados por el **tránsito de aproximadamente 10 ondas tropicales y el paso de Ondas Ecuatoriales de Rossby (ER, que actuaron como disparadores dinámicos de la convección profunda en conjunción con anomalías positivas de Agua Total Precipitable (PWAT))**. Este ascenso de aire fue ventilado por la difluencia de la alta tropósfera, la cual se mantuvo de carácter sectorizado debido a que la Alta de Bolivia se presentó desorganizada. Por otra parte, la **Vaguada Monzónica** osciló latitudinalmente entre el norte del Pacífico y el Caribe, mientras que la **ZCIT** en el Atlántico se posicionó entre los 0° y 7°N. Asimismo, la **Baja Anclada de Panamá** permaneció activa de manera intermitente, brindando un soporte de convergencia crucial para las lluvias en el Pacífico. Finalmente, la inestabilidad en el extremo meridional fue reforzada por el desplazamiento de dos **frentes fríos del hemisferio sur** a través de la Amazonía brasileña y Bolivia, mientras que en el Caribe, un **único sistema frontal** en cercanías de las Antillas Menores generó líneas de inestabilidad prefrontales que aportaron lluvias muy puntuales debido al aire seco dominante en el norte.

ANOMALÍA DE PRECIPITACIÓN

La **región Andina** evidenció un comportamiento altamente heterogéneo y contrastante en sus anomalías. Amplios sectores de las porciones norte y centro de la región estuvieron dominados por **anomalías negativas** de carácter moderado, indicando lluvias **por debajo** de sus promedios climatológicos. No obstante, el rasgo más sobresaliente se localizó en la zona sur de la región, donde se consolidó un núcleo continuo de **excesos** de lluvia muy significativos (tonos de azul intenso), lo que representó un comportamiento hídrico excepcional en esa franja andina.

En la **Orinoquía** se registraron condiciones mayormente cercanas a la normalidad con tendencias hacia el **déficit** ligero. Sin embargo, la región presentó contrastes sectorizados muy marcados: en el extremo norte se identificó un núcleo concéntrico de **anomalía negativa** importante (**déficit** de lluvia), mientras que hacia el centro y suroccidente se evidenciaron **excesos** localizados, acompañados por un foco de **anomalía positiva** significativa.

Finalmente, la **Amazonía** se caracterizó por una marcada sectorización de sus anomalías pluviales. Mientras que amplias zonas del norte se mantuvieron bajo condiciones ligeramente **deficitarias** a **normales**, se destacó la presencia de **excesos** de precipitación en la porción centro-sur de la región, la cual se extendió con menor intensidad hacia puntos del del suroccidente y noroccidente de la cuenca amazónica. (ver Figuras 1 y 2)

Figura 1. Precipitación acumulada mensual Junio 2026

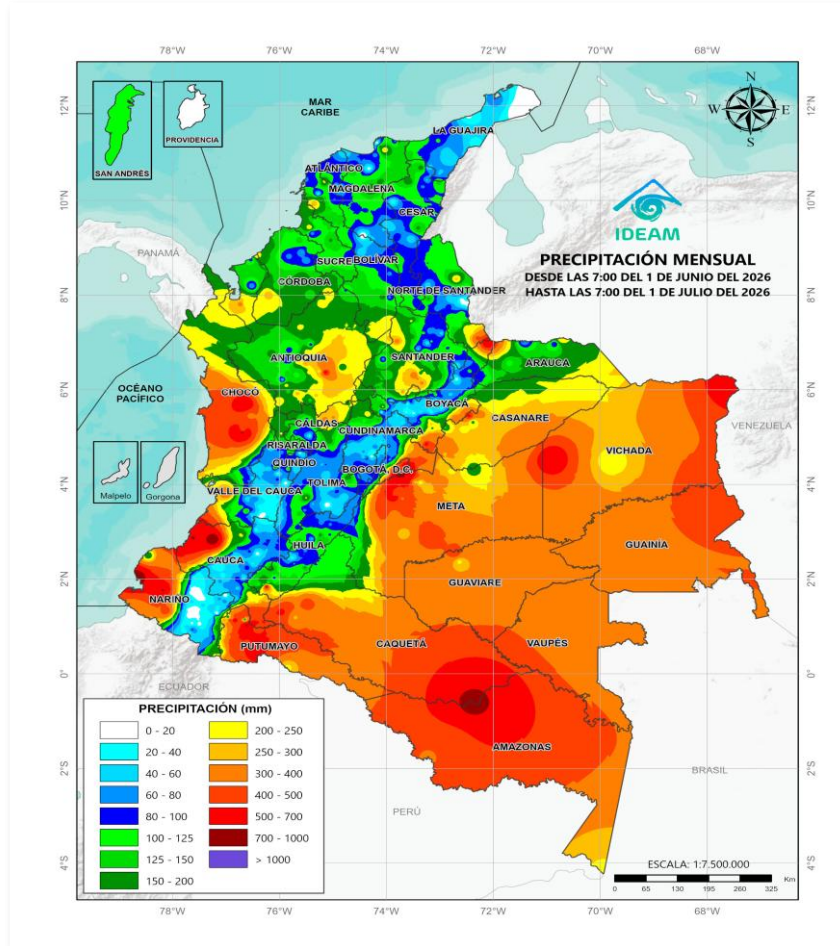
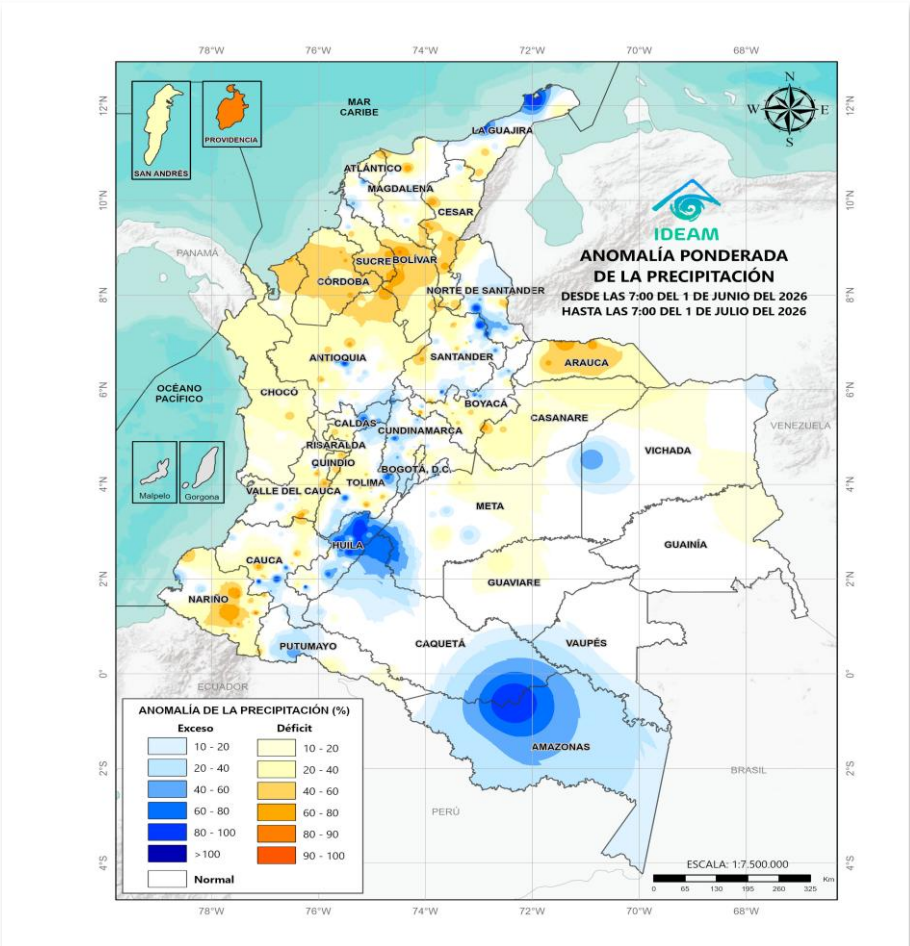


Figura 2. Anomalía ponderada de la precipitación Junio 2026



Fuente: Grupo de profesionales de incendios y deslizamientos

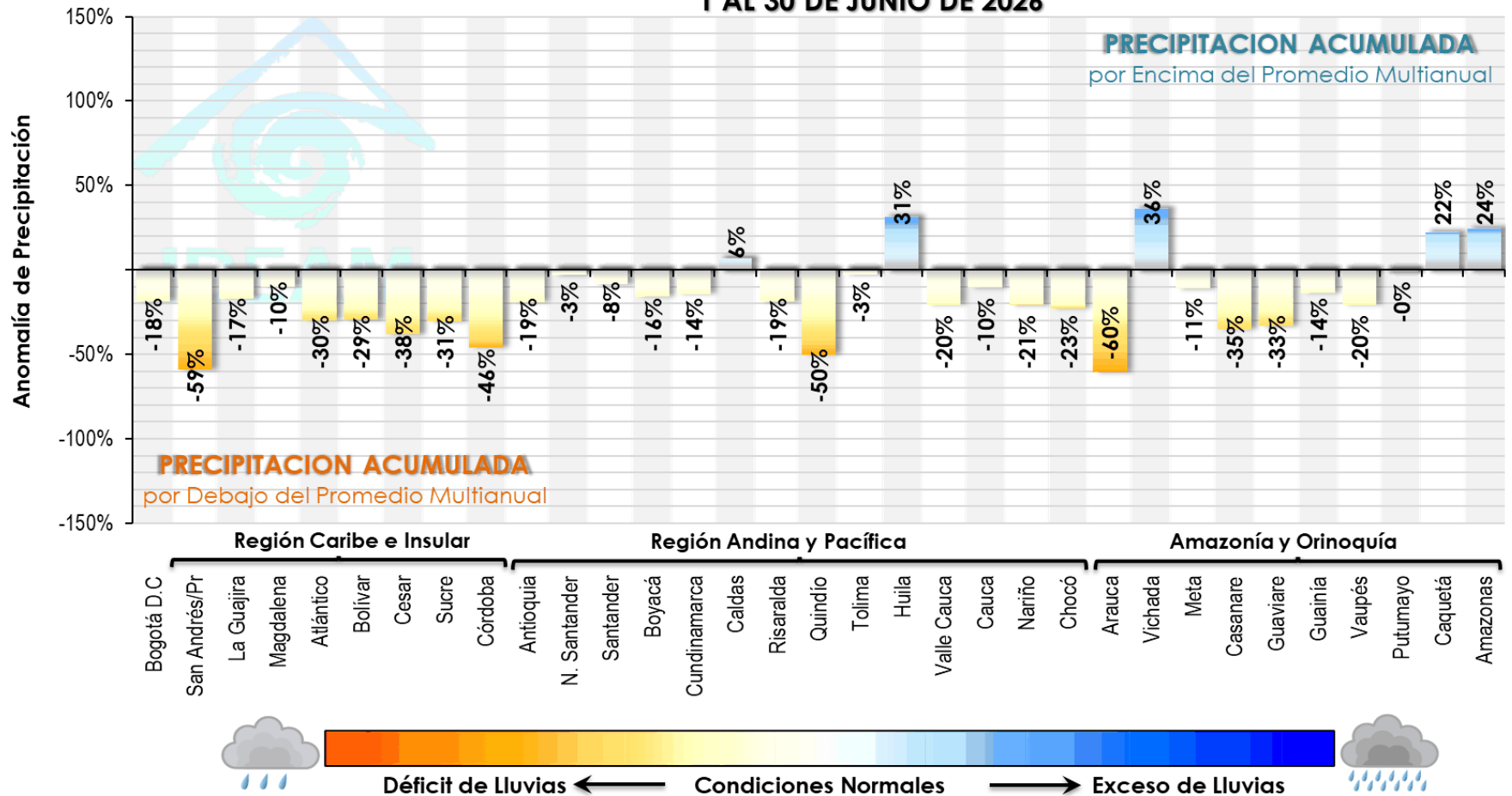
ANOMALÍA DE PRECIPITACIÓN

El análisis de la anomalía de la precipitación acumulada por departamentos durante el periodo 1 al 30 de Junio (**Figura 3**) estuvo dominado por un patrón generalizado de **sequía** y estabilidad, donde el **déficit** hídrico afectó a la gran mayoría de los departamentos del territorio colombiano. De las divisiones político-administrativas evaluadas, únicamente cinco departamentos registraron desviaciones **positivas** por encima de sus promedios históricos.

La **región Caribe** experimentó **anomalías negativas** representativas. El **déficit** más severo se localizó en la zona insular, donde el departamento de San Andrés y Providencia registró un -59% de precipitación acumulada. En la zona continental, la mayor escasez de lluvias afectó a Córdoba con un -46%, seguido por Cesar (-38%), Sucre (-31%), Atlántico (-30%) y Bolívar (-29%). Las **desviaciones secas** menos marcadas de la región se presentaron en La Guajira (-17%) y Magdalena (-10%).

La **región Andina** mostró un comportamiento predominantemente **deficitario**, pero con contrastes dinámicos de gran relevancia en su extremo sur. El departamento más **seco** de la región fue Quindío, que reportó una **anomalía negativa** crítica del -50%, seguido por Antioquia y Risaralda con un -19%, Cundinamarca (-14%), Bogotá D.C. (-18%), Boyacá (-16%) y Santander (-8%). Por el contrario, se registraron condiciones muy cercanas a la **normalidad** en Norte de Santander (-3%) y Tolima (-3%). Los únicos departamentos andinos que presentaron excesos fueron Huila, consolidándose como un foco de **superávit** con un +31%, y Caldas con un ligero incremento del +6%.

Figura 3. ANOMALÍA PONDERADA DE LA PRECIPITACIÓN ACUMULADA POR DEPARTAMENTOS 1 AL 30 DE JUNIO DE 2026



Información Preliminar | Oficina del Servicio de Pronósticos y Alertas | IDEAM

Fuente: Grupo de datos Ideam - OSPA.

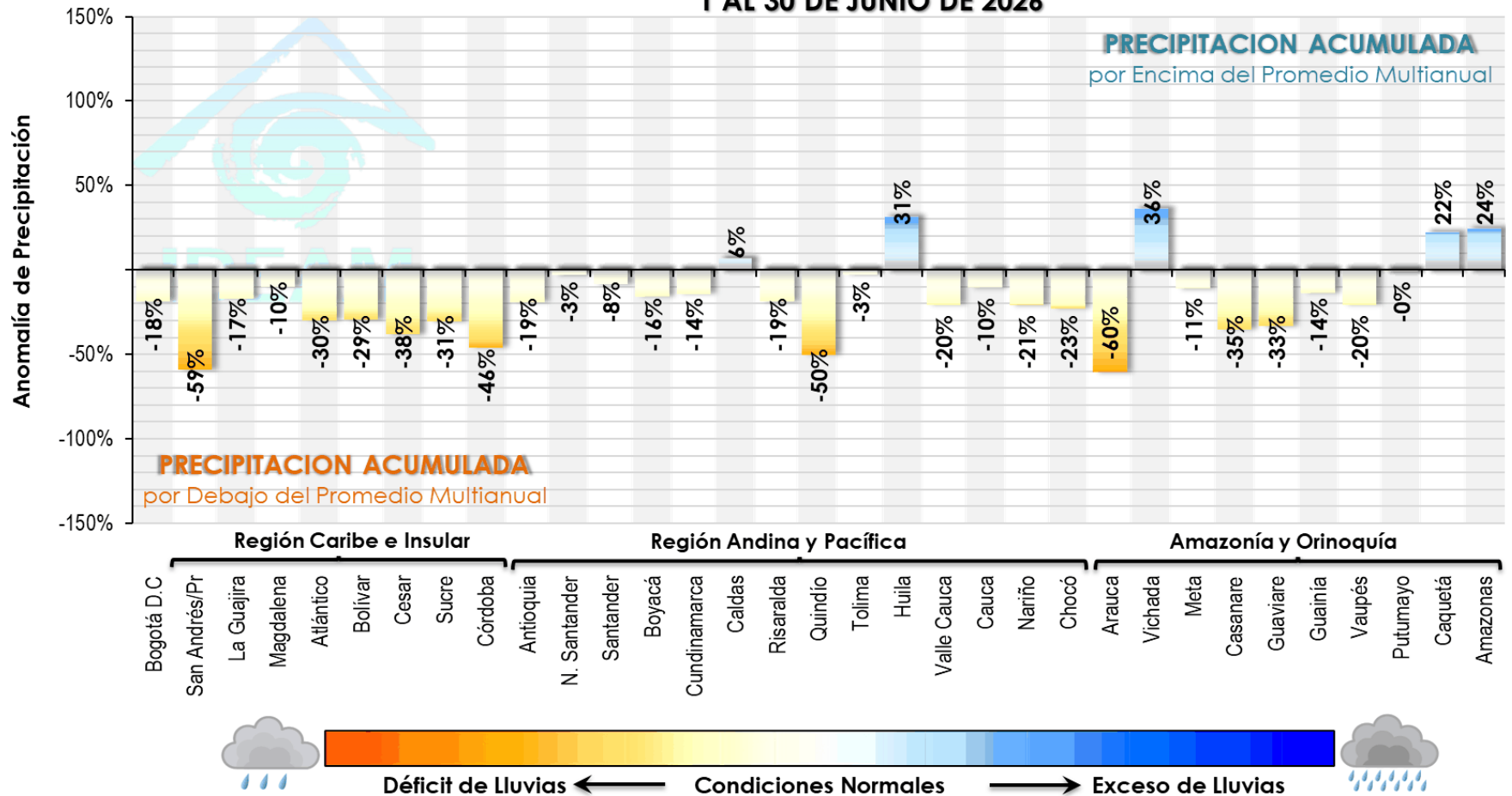
ANOMALÍA DE PRECIPITACIÓN

La **región Pacífica** en sintonía con la estabilidad de la vertiente occidental, toda la región cerró el mes con acumulados **por debajo** de la media multianual. Las **anomalías negativas** fueron homogéneas de norte a sur, lideradas por Chocó con un -23%, seguido de cerca por Nariño (-21%) y Valle del Cauca (-20%). La escasez de lluvias más baja se reportó en el departamento del Cauca, que registró un déficit del -10%.

La **Orinoquía** exhibió una marcada división hídrica entre su sector norte y el oriental. Las condiciones **secas** de mayor severidad afectaron drásticamente a Arauca con un -60% de **anomalía negativa**, seguido por Casanare (-35%) y Meta (-11%). En marcado contraste con esta tendencia deficitaria, el departamento de Vichada se consolidó como una de las excepciones del mes, registrando un destacado **superávit** del +36% **por encima** de su climatología habitual.

La **Amazonía** presentó un panorama mixto con una recuperación de lluvias locales. Las condiciones **deficitarias** dominaron en Guaviare (-33%), Vaupés (-20%) y Guainía (-14%). Por el contrario, se observó un comportamiento **normal** en Putumayo (0%). Los **excesos** de lluvia más significativos de la cuenca amazónica se concentraron en Amazonas (+24%) y Caquetá (+22%), confirmando la persistencia de sistemas convectivos dinámicos locales.

Figura 3. ANOMALÍA PONDERADA DE LA PRECIPITACIÓN ACUMULADA POR DEPARTAMENTOS 1 AL 30 DE JUNIO DE 2026



Información Preliminar | Oficina del Servicio de Pronósticos y Alertas | IDEAM

Fuente: Grupo de datos Ideam - OSPA.

ANOMALÍA DE PRECIPITACIÓN

La **Tabla I** detalla las precipitaciones **máximas históricas que fueron superadas en 21 estaciones** de monitoreo durante el mes de junio. La cantidad excepcional de récords rotos en un mes con balance regional predominantemente deficitario ratifica la naturaleza del periodo, el cual estuvo caracterizado por un régimen gobernado por una fuerte estabilidad a gran escala, pero interrumpido por sistemas convectivos de mesoescala altamente localizados e intensos.

La **región Caribe e Insular** presentó 4 récords superados, de los cuales el más destacado por su margen de diferencia se reportó en La Guajira (Uribe), donde la estación Irraipa registró un acumulado de 70.0 mm, superando su máximo histórico anterior (13.0 mm) por una diferencia de 57.0 mm. Le siguió la estación Monterrubio en Pivijay (Magdalena) con un acumulado de 125.0 mm, superando por 15.0 mm su marca previa. En Cesar, las estaciones Poponte en Curumaní (+10.0 mm, alcanzando 110.0 mm) y Bonanza en El Copey (+1.6 mm) confirmaron la presencia de núcleos húmedos aislados en el sector centro-norte del Caribe.

La **región Andina** concentró la mayor cantidad de récords rotos con 13 registros. Se destacó el departamento de Huila, donde la estación Hato Bogotá en Tello reportó 90.0 mm (superando su histórico por 20.0 mm), mientras que en Neiva las estaciones Neiva (+3.0 mm) y Santa Helena (+2.0 mm) también impusieron nuevas marcas. En Santander, el Aeropuerto Yariguíes de Barrancabermeja (Magdalena Medio) registró un acumulado de 134.6 mm, superando su histórico por 5.4 mm, secundado por Cerrito (+2.2 mm) y Guavatá (+0.4 mm).

Tabla I. Precipitaciones máximas históricas superadas en el mes

ESTACIÓN	DEPARTAMENTO	MUNICIPIO	Máxima del mes (mm)	Máxima Histórica (mm)	Diferencia (mm)
Irraipa	LA GUAJIRA	Uribe	70	13	57
Labateca	NORTE DE SANTANDER	Labateca	58	53	5
Iser Pamplona	NORTE DE SANTANDER	Pamplona	61	53,2	7,8
Poponte	CESAR	Curumaní	110	100	10
Guavata	SANTANDER	Guavatá	71,5	71,1	0,4
Cerrito	SANTANDER	Cerrito	58,2	56	2,2
Camelia La	RISARALDA	Santuario	70	68	2
Aeropuerto Yariguies	SANTANDER	Barrancabermeja	134,6	129,2	5,4
Laureles-Medellin	ANTIOQUIA	Medellín	58,4	55,4	3
El Plan	ANTIOQUIA	Fredonia	68,3	64,5	3,8
Puerto Caicedo	PUTUMAYO	Puerto Caicedo	136	135	1
C.Univ.Agrop-Udca	BOGOTÁ, D.C.	Bogotá, D.C.	29	27,4	1,6
Hato Bogota	HUILA	Tello	90	70	20
Neiva	HUILA	Neiva	78	75	3
Santa Helena	HUILA	Neiva	50,4	48,4	2
Belen De Andaquies	CAQUETÁ	Belén De Los Andaquíes	133	132	1
Bonanza	CESAR	El Copey	45,6	44	1,6
Puerto Rico	META	Puerto Rico	133	115	18
Monterrubio	MAGDALENA	Pivijay	125	110	15
La Ilusion	ANTIOQUIA	Caucasia	145	138	7
Paispamba	CAUCA	Sotará Paispamba	48	43,7	4,3

Fuente: Grupo de datos Ideam - OSPA.

ANOMALÍA DE PRECIPITACIÓN

Continuando con la **región Andina**, en Norte de Santander se reportaron superaciones de 5.0 mm en Labateca y 7.8 mm en la estación Iser Pamplona (alcanzando 61.0 mm). En Antioquia, la estación La Ilusión en Cauca (Bajo Cauca) registró una lluvia extrema de 145.0 mm, superando su marca histórica por 7.0 mm, seguida por El Plan en Fredonia (+3.8 mm) y Laureles-Medellín (+3.0 mm). En Risaralda (Santuario), la estación Camelia La superó su récord por 2.0 mm (alcanzando 70.0 mm), mientras que en Bogotá D.C. se registró una superación menor de +1.6 mm en la estación C.Univ.Agrop-Udca.

Solo una estación superó su marca histórica en la **región Pacífica**, destacando en el departamento de Cauca la estación Paispamba (Sotará Paispamba), la cual superó su récord anterior por 4.3 mm al registrar un acumulado de 48.0 mm.

Igualmente, con un solo récord superado se presentó la región **Orinoquía** en Meta, específicamente en la estación Puerto Rico, donde se registró una precipitación de 133.0 mm, superando el máximo histórico anterior (115.0 mm) por un margen notable de 18.0 mm.

Finalmente, la región de la **Amazonía** registró 2 récords superados, uno en Caquetá (estación Belén de los Andaquíes) y otro en Putumayo (estación Puerto Caicedo). Ambas estaciones del piedemonte amazónico registraron superaciones muy estrechas de +1.0 mm (alcanzando 133.0 mm y 136.0 mm, respectivamente), lo que demuestra que las lluvias en esta franja, aunque abundantes, se ajustaron estrictamente al límite superior de su climatología habitual. (ver **Tabla I**).

Tabla I. Precipitaciones máximas históricas superadas en el mes

ESTACIÓN	DEPARTAMENTO	MUNICIPIO	Máxima del mes (mm)	Máxima Histórica (mm)	Diferencia (mm)
Irraipa	LA GUAJIRA	Uribe	70	13	57
Labateca	NORTE DE SANTANDER	Labateca	58	53	5
Iser Pamplona	NORTE DE SANTANDER	Pamplona	61	53,2	7,8
Poponte	CESAR	Curumaní	110	100	10
Guavata	SANTANDER	Guavatá	71,5	71,1	0,4
Cerrito	SANTANDER	Cerrito	58,2	56	2,2
Camelia La	RISARALDA	Santuario	70	68	2
Aeropuerto Yariguies	SANTANDER	Barrancabermeja	134,6	129,2	5,4
Laureles-Medellin	ANTIOQUIA	Medellín	58,4	55,4	3
El Plan	ANTIOQUIA	Fredonia	68,3	64,5	3,8
Puerto Caicedo	PUTUMAYO	Puerto Caicedo	136	135	1
C.Univ.Agrop-Udca	BOGOTÁ, D.C.	Bogotá, D.C.	29	27,4	1,6
Hato Bogota	HUILA	Tello	90	70	20
Neiva	HUILA	Neiva	78	75	3
Santa Helena	HUILA	Neiva	50,4	48,4	2
Belen De Andaquies	CAQUETÁ	Belén De Los Andaquíes	133	132	1
Bonanza	CESAR	El Copey	45,6	44	1,6
Puerto Rico	META	Puerto Rico	133	115	18
Monterrubio	MAGDALENA	Pivijay	125	110	15
La Ilusion	ANTIOQUIA	Caucasia	145	138	7
Paispamba	CAUCA	Sotará Paispamba	48	43,7	4,3

Fuente: Grupo de datos Ideam - OSPA.

ACUMULADO DE PRECIPITACIÓN DIARIA

El análisis del acumulado de precipitación diaria (**Figura 4**) a nivel nacional para el mes de junio muestra un comportamiento temporal caracterizado por una marcada división en dos fases de inestabilidad.

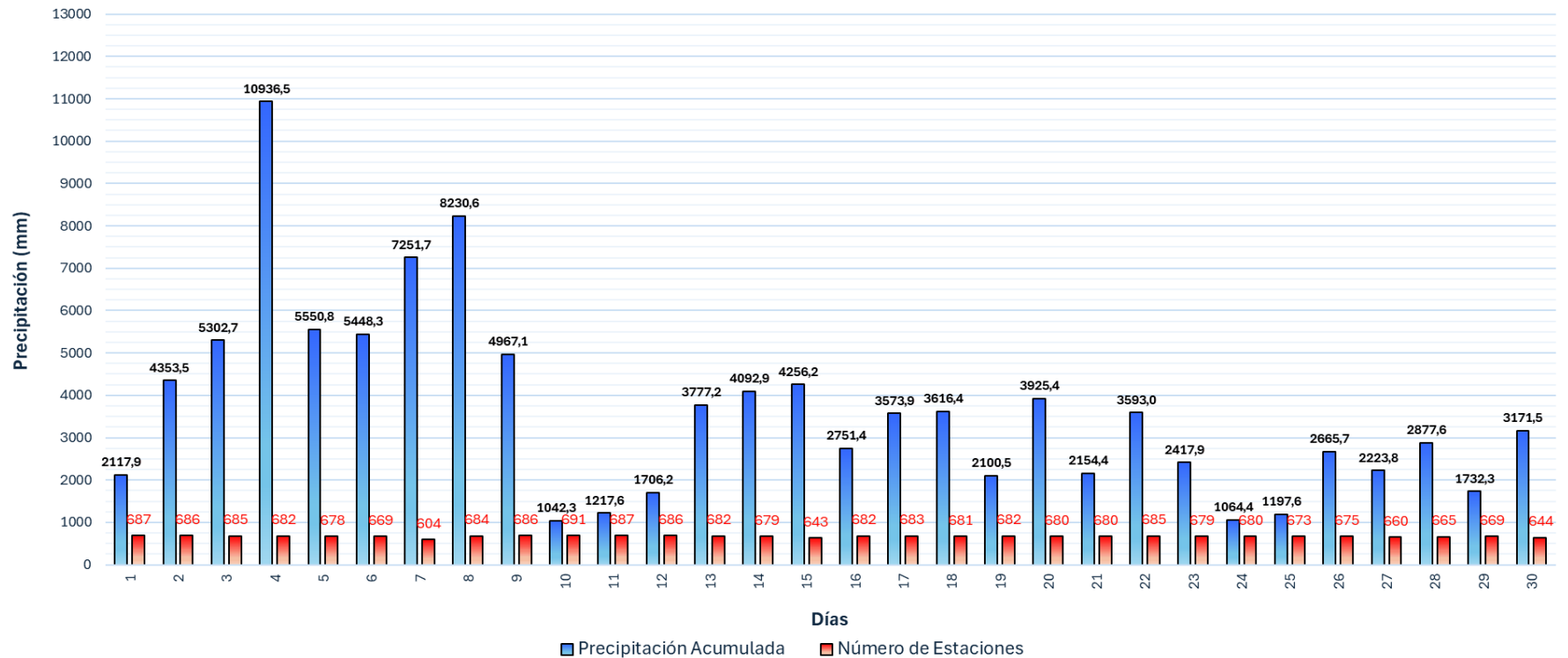
Durante **los primeros nueve días** del mes se concentró la mayor actividad convectiva a nivel nacional, sustentando el superávit inicial de humedad. El evento de **lluvia más extremo** de todo el periodo se registró **el 4 de junio**, alcanzando un volumen excepcional de **10,936.5 mm** de acumulado nacional. Tras una ligera disminución, la inestabilidad se reactivó, registrando el segundo pico más alto del mes el 8 de junio con 8,230.6 mm.

La actividad pluvial registró un **mínimo** de 1,042.3 mm el 10 de junio y de 1,217.6 mm el día 11.

A mediados de mes, se observaron repuntes moderados de lluvia, destacando los días 15 de junio (4,256.2 mm), 18 de junio (3,616.4 mm) y 20 de junio (3,925.4 mm).

Hacia la cuarta semana se consolidó otra ventana de marcada estabilidad, registrando el segundo acumulado más bajo el 24 de junio con solo 1,064.4 mm. El mes cerró con una reactivación ligera el día 30, reportando 3,171.5 mm.

Figura 4. PRECIPITACIÓN ACUMULADA DIARIA
Junio del 2026



Fuente: Grupo de datos Ideam-OSPA.

DISTRIBUCIÓN ESPACIAL DE LA PRECIPITACIÓN DIARIA

La **Figura 5** presenta la distribución espacial de la precipitación diaria en el territorio colombiano durante el mes de junio. Los 30 mapas diarios confirman la transición entre periodos de inestabilidad generalizada y ventanas de estabilidad prolongada.

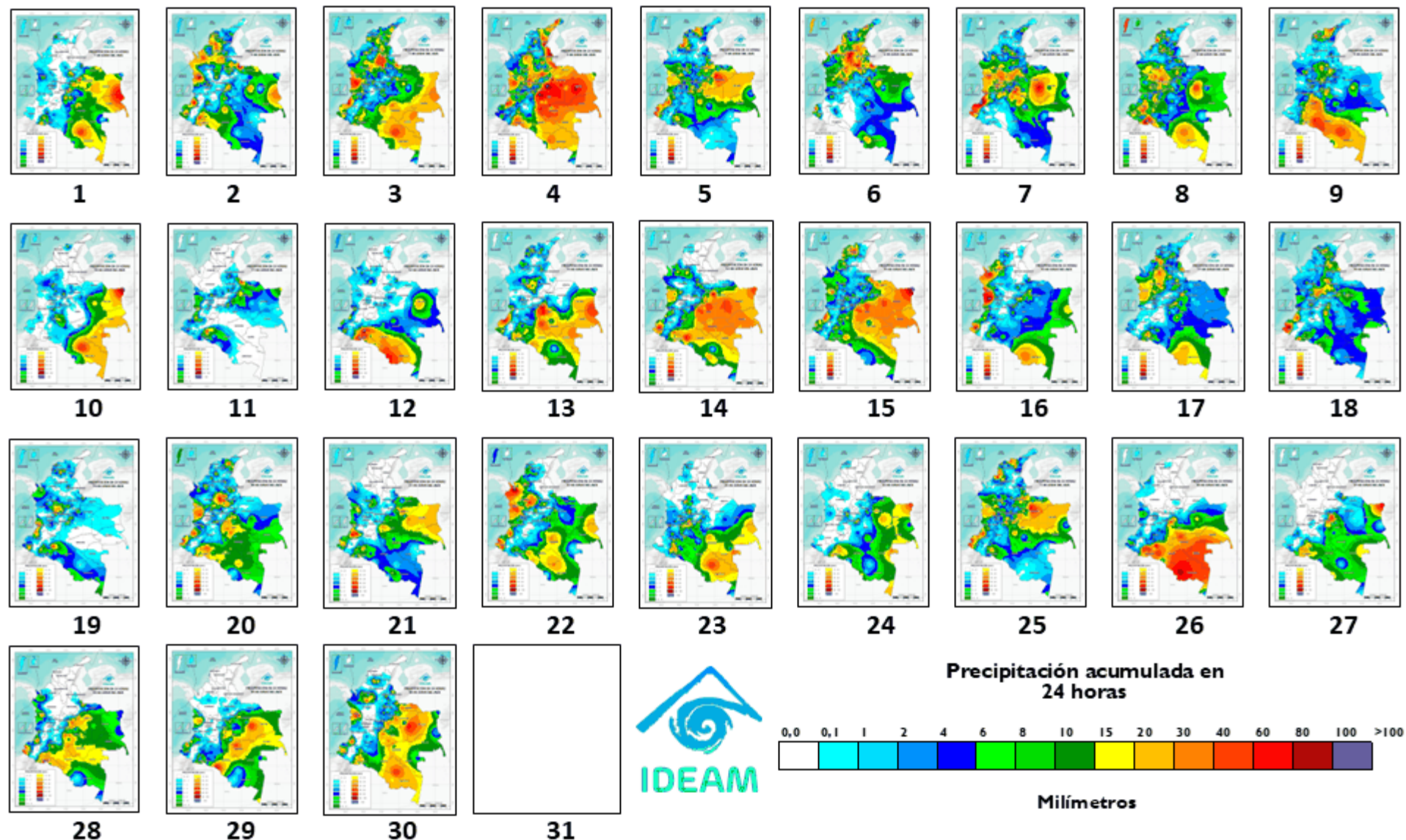
Durante la **primera década del mes**, la cobertura espacial de las lluvias fue la **más extensa y severa de todo el periodo**. La cartografía del **día 4 (máximo absoluto)**, en concordancia con el pico de acumulado nacional de la **Figura 4**, muestra una cobertura de precipitaciones de gran intensidad (tonos naranja, rojo y marrón) afectando simultáneamente a las regiones Caribe, Pacífica, Andina y gran parte de la Orinoquía y Amazonía. Fue el único día con una afectación hídrica casi total sobre el país.

Los mapas de las jornadas del día 7 y 8, muestran la consolidación de sistemas convectivos de gran desarrollo en la región Pacífica, la región Andina y la Orinoquía central, con núcleos de lluvia muy significativa.

A partir del día 10, la distribución espacial de las lluvias se redujo drásticamente. El mapa muestra un territorio nacional mayormente seco (color blanco 0.0 mm y azul claro <4 mm), quedando las precipitaciones remanentes confinadas a una franja diagonal muy estrecha especialmente sobre el oriente de la Orinoquía y Amazonía.

Así mismo, la **estabilidad del día 24**, muestra condiciones de **tiempo seco** en amplios sectores de la región Caribe, Andina y Pacífica.

Figura 5. Distribución espacial de la precipitación diaria - Junio del 2026



Nota: Interpolación de la precipitación realizada con datos preliminares – Método IWD

Fuente: Grupo de datos OSPA - Ideam.

ANOMALÍA DE TEMPERATURA MÍNIMA

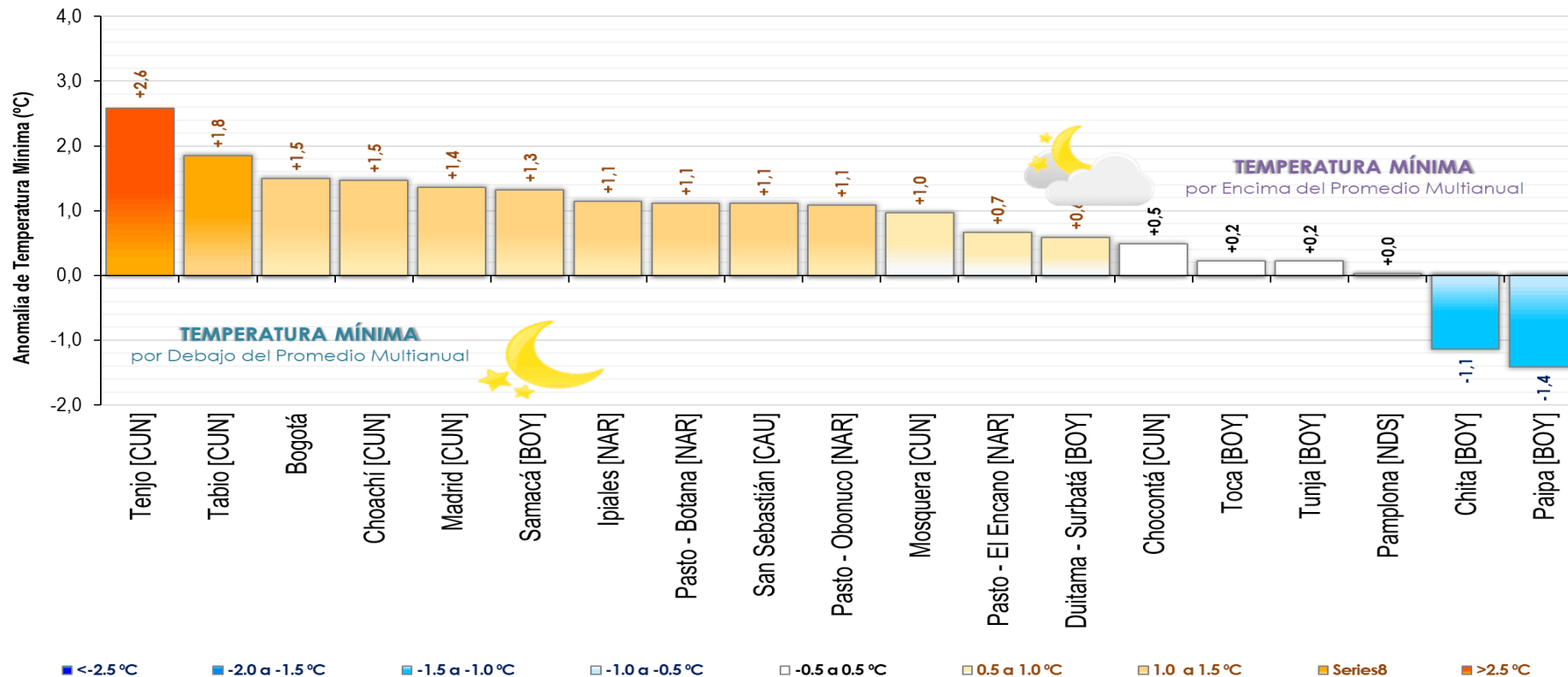
El comportamiento de las **temperaturas mínimas** en el altiplano andino durante junio evidenció un **patrón predominantemente cálido**, lo que generó una mitigación generalizada del riesgo de heladas meteorológicas en gran parte de las zonas de altura del país. De las 19 estaciones de monitoreo evaluadas, la inmensa mayoría reflejó condiciones por encima de sus promedios históricos. (ver Figura 6)

Un total de **16 estaciones** registraron **desvíos positivos** en sus **temperaturas mínimas**. Las **anomalías más significativas de calentamiento** se concentraron en el departamento de Cundinamarca, lideradas por las estaciones de Tenjo (+2.6 °C), Tabio (+1.8 °C) y Choachí (+1.5 °C), acompañadas por la capital, Bogotá (+1.5 °C).

Este incremento de las temperaturas mínimas también fue notable en el departamento de Nariño, donde estaciones como Ipiales, Pasto-Botana y Pasto-Obonuco reportaron un calentamiento consistente de +1.1 °C, al igual que San Sebastián en el Cauca (+1.1 °C) y Samacá en Boyacá (+1.3 °C).

La estación de Pamplona (Norte de Santander) se ajustó exactamente a su promedio climatológico multianual, reportando una anomalía neutra de 0.0 °C.

Figura 6. ANOMALÍA TEMPERATURA MÍNIMA EN POBLACIONES SUSCEPTIBLES A HELADAS 1 AL 30 DE JUNIO DE 2026



Fuente: Grupo de datos Ideam-OSPA.

Tabla 2. Temperaturas mínimas históricas superadas en el mes

ESTACIÓN	DEPARTAMENTO	MUNICIPIO	Temperatura mínima del mes (mm)	Temperatura mínima histórica (mm)	Diferencia (mm)
Apto Pto Carreno	Vichada	Pto Carreño	18,3	19,7	-1,4
El Guamo (Automática)	Bolívar	El Guamo	19,4	20,2	-0,8

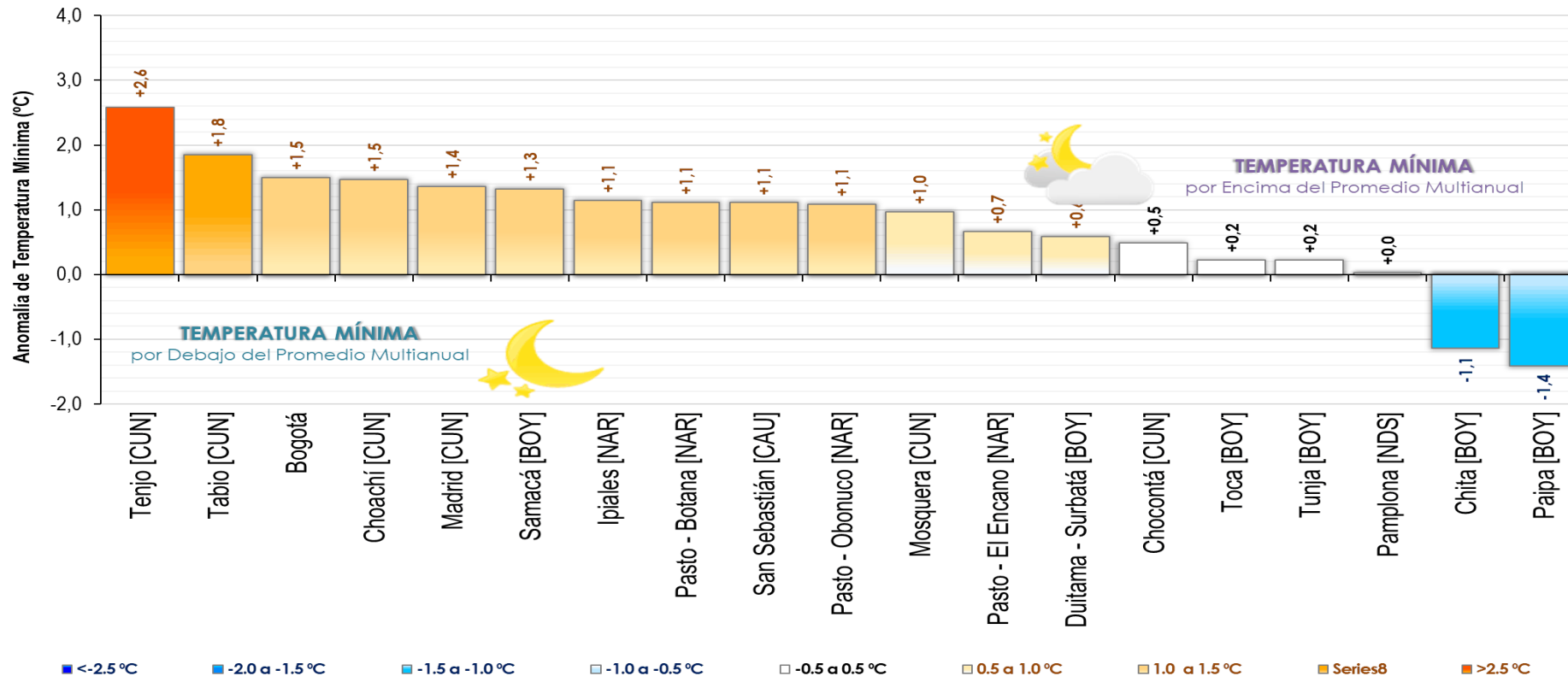
Fuente: Grupo de datos Ideam-OSPA.

ANOMALÍA DE TEMPERATURA MÍNIMA

En contraposición al panorama nacional cálido, la estabilidad atmosférica y la escasez de nubosidad en sectores específicos del altiplano de Boyacá favorecieron un enfriamiento radiativo nocturno muy eficiente. Únicamente dos estaciones registraron anomalías negativas importantes: Paipa con $-1.4\text{ }^{\circ}\text{C}$ y Chita con $-1.1\text{ }^{\circ}\text{C}$. Estas dos desviaciones negativas confirman que el riesgo de heladas no desapareció por completo, sino que se concentró de manera crítica y muy focalizada en el departamento de Boyacá.

La **Tabla 2** detalla las **temperaturas mínimas históricas** que fueron superadas durante el mes de junio. Aunque el balance de las estaciones andinas mostró condiciones mayormente cálidas, se registraron eventos de enfriamiento significativo, logrando que **dos estaciones rompieran sus récords históricos absolutos de temperatura mínima**. El Apto Pto Carreño (Vichada) registró la temperatura mínima más baja de su historia para el mes con $18.3\text{ }^{\circ}\text{C}$, superando el récord anterior de $19.7\text{ }^{\circ}\text{C}$ por una diferencia notable de $-1.4\text{ }^{\circ}\text{C}$. Mientras que, El Guamo - Automática (Bolívar) reportó una temperatura mínima de $19.4\text{ }^{\circ}\text{C}$, redefiniendo su mínimo histórico de $20.2\text{ }^{\circ}\text{C}$ por una diferencia de $-0.8\text{ }^{\circ}\text{C}$.

Figura 6. ANOMALÍA TEMPERATURA MÍNIMA EN POBLACIONES SUSCEPTIBLES A HELADAS 1 AL 30 DE JUNIO DE 2026



Fuente: Grupo de datos Ideam-OSPA.

Tabla 2. Temperaturas mínimas históricas superadas en el mes

ESTACIÓN	DEPARTAMENTO	MUNICIPIO	Temperatura mínima del mes (mm)	Temperatura mínima histórica (mm)	Diferencia (mm)
Apto Pto Carreno	Vichada	Pto Carreño	18,3	19,7	-1,4
El Guamo (Automática)	Bolívar	El Guamo	19,4	20,2	-0,8

Fuente: Grupo de datos Ideam-OSPA.

ANOMALÍA DE TEMPERATURA MÁXIMA

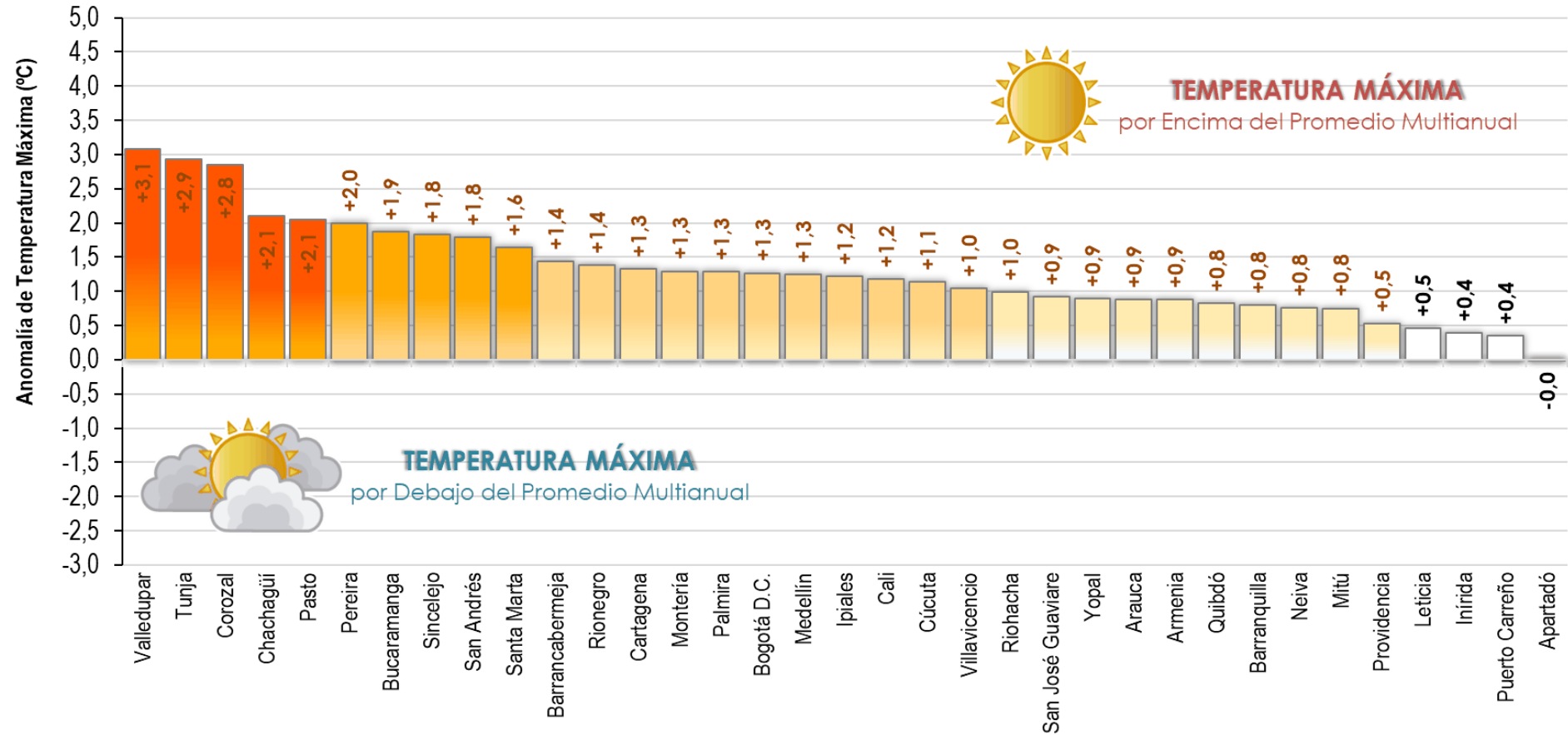
A partir de los datos presentados de **anomalía de temperatura máxima en las principales ciudades de Colombia (Figura 7)**, el mes de junio se caracterizó por un calentamiento diurno generalizado en casi la totalidad del territorio nacional. De las **35** principales ciudades monitoreadas, un total de **34** registraron **temperaturas máximas por encima de su promedio multianual** (el 97% de los centros urbanos).

El **calentamiento diurno alcanzó registros muy significativos** en los extremos norte y en las zonas altas del país, liderado por Valledupar con una anomalía de **+3.1 °C**, seguido de cerca por Tunja (+2.9 °C) y Corozal (+2.8 °C). Asimismo, ciudades como Chachagüí (+2.1 °C) y Pasto (+2.1 °C) registraron desviaciones térmicas muy elevadas.

Un amplio grupo de ciudades reportó un calor diurno por **encima de lo normal**, incluyendo a Pereira (+2.0 °C), Bucaramanga (+1.9 °C), Sincelejo y San Andrés (+1.8 °C), y Santa Marta (+1.6 °C). Las principales capitales del país mostraron incrementos homogéneos y consistentes, como Bogotá D.C., Medellín y Cartagena, las cuales registraron un calentamiento de **+1.3 °C**, mientras que Cali reportó una anomalía de **+1.2 °C** y Cúcuta de **+1.1 °C**.

La única ciudad del país que logró **mantenerse al margen** de estas anomalías cálidas de temperatura máxima fue Apartadó, registrando una **anomalía neutra de -0.0 °C**, lo que la posiciona como la única localidad monitoreada que se ajustó estrictamente a su climatología de referencia.

ANOMALÍA TEMPERATURA MÁXIMA EN LAS PRINCIPALES CIUDADES DE COLOMBIA
1 AL 30 DE JUNIO DE 2026



Fuente: Grupo de datos Ideam-OSPA.

ANOMALÍA DE TEMPERATURA MÁXIMA

La **Tabla 2** muestra la **superación de 36 registros históricos de temperatura máxima diaria** en estaciones de monitoreo distribuidas a lo largo del territorio nacional. La vertiente montañosa y sus altiplanos experimentaron las superaciones más numerosas.

En Cundinamarca en la ciudad de Bogotá, se destaca la estación Aeropuerto El Dorado Catam, la cual reportó una máxima de 24.5 °C, sobrepasando su máximo histórico de 23.1 °C por un margen excepcional de +1.4 °C. En el mismo departamento, Tibaitatá en Mosquera y La Bolsa en Choachí superaron sus marcas previas por +0.2 °C.

En Boyacá, la estación U P T C (Tunja) registró una temperatura máxima de 23.2 °C, superando su récord por +1.6 °C, secundada por Villa Luisa en Ramiriquí (+0.2 °C). Sobre Norte de Santander, en Toledo, la estación Tunebia superó su marca por +0.8 °C. En Santander, se registraron nuevos máximos en Cimitarra (+1.0 °C, alcanzando los 36.8 °C), Capitanejo (+0.2 °C), Lebrija (Aeropuerto Palonegro, +0.6 °C) y Barrancabermeja (Aeropuerto Yariguíes, +0.1 °C). En Antioquia, se reportaron superaciones notables en La Salada en el municipio Caldas (+1.8 °C) y Uniban en Apartadó (+1.1 °C), además de La Aldea en Medellín (+0.4 °C). En el Valle del Cauca, la estación Barragán en Tuluá rompió su marca por +1.0 °C, mientras que el Aeropuerto Alfonso Bonilla en Palmira lo hizo por +1.3 °C. Sobre Tolima y Huila, se reportaron nuevos récords en Saldaña (Jabalcon, +0.4 °C), Altamira El Grifo (+0.8 °C), Ibagué (Aeropuerto Perales, +0.1 °C) y Santa Isabel (+0.2 °C).

Tabla 2. Temperaturas máximas históricas superadas en el mes

ESTACIÓN	DEPARTAMENTO	MUNICIPIO	Temperatura máxima del mes (mm)	Temperatura máxima histórica (mm)	Diferencia (mm)
Aeropuerto Sesquicentenario	ARCHIPIÉLAGO DE SAN ANDRÉS, PROVIDENCIA Y SANTA CATALINA	Isla de San Andrés	32,9	32,5	0,4
Aeropuerto Yariguíes	SANTANDER	Barrancabermeja	37,1	37	0,1
Aeropuerto Perales	TOLIMA	Ibagué	33,7	33,6	0,1
Cimitarra	SANTANDER	Cimitarra	36,8	35,8	1
Barragan	VALLE DEL CAUCA	Tuluá	22	21	1
Tunebia	NORTE DE SANTANDER	Toledo	34	33,2	0,8
Capitanejo	SANTANDER	Capitanejo	39,4	39,2	0,2
Tibaitata	CUNDINAMARCA	Mosquera	24,2	24	0,2
La Bolsa	CUNDINAMARCA	Choachí	16,2	16	0,2
Valencia	CAUCA	San Sebastián	21,8	21,4	0,4
Granja Providencia	MAGDALENA	Tenerife	24,6	24	0,6
Aeropuerto San Luis - AUT	NARIÑO	Aldana	20	19,4	0,6
Altamira El Grifo AUT	HUILA	Altamira	30	29,2	0,8
El Paraiso - AUT	NARIÑO	Túquerres	21,9	19,6	2,3
Sindagua	NARIÑO	Tangua	23	22	1
Obonuco	NARIÑO	Pasto	23,4	21,4	2
Botana - AUT	NARIÑO	Pasto	23,4	22,2	1,2
Funes	NARIÑO	Funes	27,4	25,6	1,8
Aeropuerto El Dorado Catam - AUT	CUNDINAMARCA	Bogotá	24,5	23,1	1,4
San Bernardo	NARIÑO	San Bernardo	28,4	27	1,4
Paispamba	CAUCA	Sotará Paispamba	22,7	21,8	0,9
Santa Isabel	TOLIMA	Santa Isabel	22,8	22,6	0,2
Villa Luisa	BOYACÁ	Ramiriquí	25,4	25,2	0,2
U P T C	BOYACÁ	Tunja	23,2	21,6	1,6
Uniban	ANTIOQUIA	Apartadó	36,6	35,5	1,1
Jabalcon	TOLIMA	Saldaña	39,6	39,2	0,4
Ragonvalia	NORTE DE SANTANDER	Ragonvalia	27,8	27,6	0,2
Lomitas	CAUCA	Santander De Quilichao	33,8	33,2	0,6
Aeropuerto Alfonso Bonilla	VALLE DEL CAUCA	Palmira	34,5	33,2	1,3
La Salada	ANTIOQUIA	Caldas	29,8	28	1,8
Tanama	NARIÑO	Samaniego	32,2	31,6	0,6
La Aldea	ANTIOQUIA	Medellín	29,4	29	0,4
Aeropuerto Rafael Barvo	SUCRE	Corozal	37,4	36,8	0,6
Aeropuerto Alfonso López	CESAR	Valledupar	41,4	41	0,4
Aeropuerto Palonegro	SANTANDER	Lebrija	30	29,4	0,6
El Salado	CÓRDOBA	Ciénaga De Oro	39,7	39,2	0,5

Fuente: Grupo de datos Ideam-OSPA.

ANOMALÍA DE TEMPERATURA MÁXIMA

El departamento de Nariño, a pesar de su orografía de gran altitud, registró desviaciones térmicas significativas. La estación El Paraíso en Túquerres lideró con una superación de +2.3 °C sobre su máximo histórico (registrando 21.9 °C). Le siguieron Obonuco en Pasto con +2.0 °C (alcanzando 23.4 °C), Funes (+1.8 °C), San Bernardo (+1.4 °C), Botana (+1.2 °C), Tangua (Sindagua, +1.0 °C), Samaniego (Tanama, +0.6 °C) y Aldana (Aeropuerto San Luis, +0.6 °C).

En el Cauca, se reportaron récords en Sotará Paispamba (+0.9 °C) y Santander de Quilichao (Lomitas, +0.6 °C).

En la región Caribe e Insular, sobre la estación Aeropuerto Alfonso López en Valledupar (Cesar) se reportó la **temperatura más alta de toda la tabla** con un registro de 41.4 °C, superando su marca anterior por +0.4 °C. Otros máximos se establecieron en Ciénaga de Oro (El Salado, +0.5 °C, alcanzando 39.7 °C), Corozal (Aeropuerto Rafael Barvo, +0.6 °C), Tenerife (Granja Providencia, +0.6 °C) y el Archipiélago de San Andrés (Aeropuerto Sesquicentenario, +0.4 °C).

Tabla 2. Temperaturas máximas históricas superadas en el mes

ESTACIÓN	DEPARTAMENTO	MUNICIPIO	Temperatura máxima del mes (mm)	Temperatura máxima histórica (mm)	Diferencia (mm)
Aeropuerto Sesquicentenario	ARCHIPIÉLAGO DE SAN ANDRÉS, PROVIDENCIA Y SANTA CATALINA	Isla de San Andrés	32,9	32,5	0,4
Aeropuerto Yariguies	SANTANDER	Barrancabermeja	37,1	37	0,1
Aeropuerto Perales	TOLIMA	Ibagué	33,7	33,6	0,1
Cimitarra	SANTANDER	Cimitarra	36,8	35,8	1
Barragan	VALLE DEL CAUCA	Tuluá	22	21	1
Tunebia	NORTE DE SANTANDER	Toledo	34	33,2	0,8
Capitanejo	SANTANDER	Capitanejo	39,4	39,2	0,2
Tibaitata	CUNDINAMARCA	Mosquera	24,2	24	0,2
La Bolsa	CUNDINAMARCA	Choachí	16,2	16	0,2
Valencia	CAUCA	San Sebastián	21,8	21,4	0,4
Granja Providencia	MAGDALENA	Tenerife	24,6	24	0,6
Aeropuerto San Luis - AUT	NARIÑO	Aldana	20	19,4	0,6
Altamira El Grifo AUT	HUILA	Altamira	30	29,2	0,8
El Paraíso - AUT	NARIÑO	Túquerres	21,9	19,6	2,3
Sindagua	NARIÑO	Tangua	23	22	1
Obonuco	NARIÑO	Pasto	23,4	21,4	2
Botana - AUT	NARIÑO	Pasto	23,4	22,2	1,2
Funes	NARIÑO	Funes	27,4	25,6	1,8
Aeropuerto El Dorado Catam - AUT	CUNDINAMARCA	Bogotá	24,5	23,1	1,4
San Bernardo	NARIÑO	San Bernardo	28,4	27	1,4
Paispamba	CAUCA	Sotará Paispamba	22,7	21,8	0,9
Santa Isabel	TOLIMA	Santa Isabel	22,8	22,6	0,2
Villa Luisa	BOYACÁ	Ramiriquí	25,4	25,2	0,2
U P T C	BOYACÁ	Tunja	23,2	21,6	1,6
Uniban	ANTIOQUIA	Apartadó	36,6	35,5	1,1
Jabalcon	TOLIMA	Saldaña	39,6	39,2	0,4
Ragonvalia	NORTE DE SANTANDER	Ragonvalia	27,8	27,6	0,2
Lomitas	CAUCA	Santander De Quilichao	33,8	33,2	0,6
Aeropuerto Alfonso Bonilla	VALLE DEL CAUCA	Palmira	34,5	33,2	1,3
La Salada	ANTIOQUIA	Caldas	29,8	28	1,8
Tanama	NARIÑO	Samaniego	32,2	31,6	0,6
La Aldea	ANTIOQUIA	Medellín	29,4	29	0,4
Aeropuerto Rafael Barvo	SUCRE	Corozal	37,4	36,8	0,6
Aeropuerto Alfonso López	CESAR	Valledupar	41,4	41	0,4
Aeropuerto Palonegro	SANTANDER	Lebrija	30	29,4	0,6
El Salado	CÓRDOBA	Ciénaga De Oro	39,7	39,2	0,5

Fuente: Grupo de datos Ideam-OSPA.

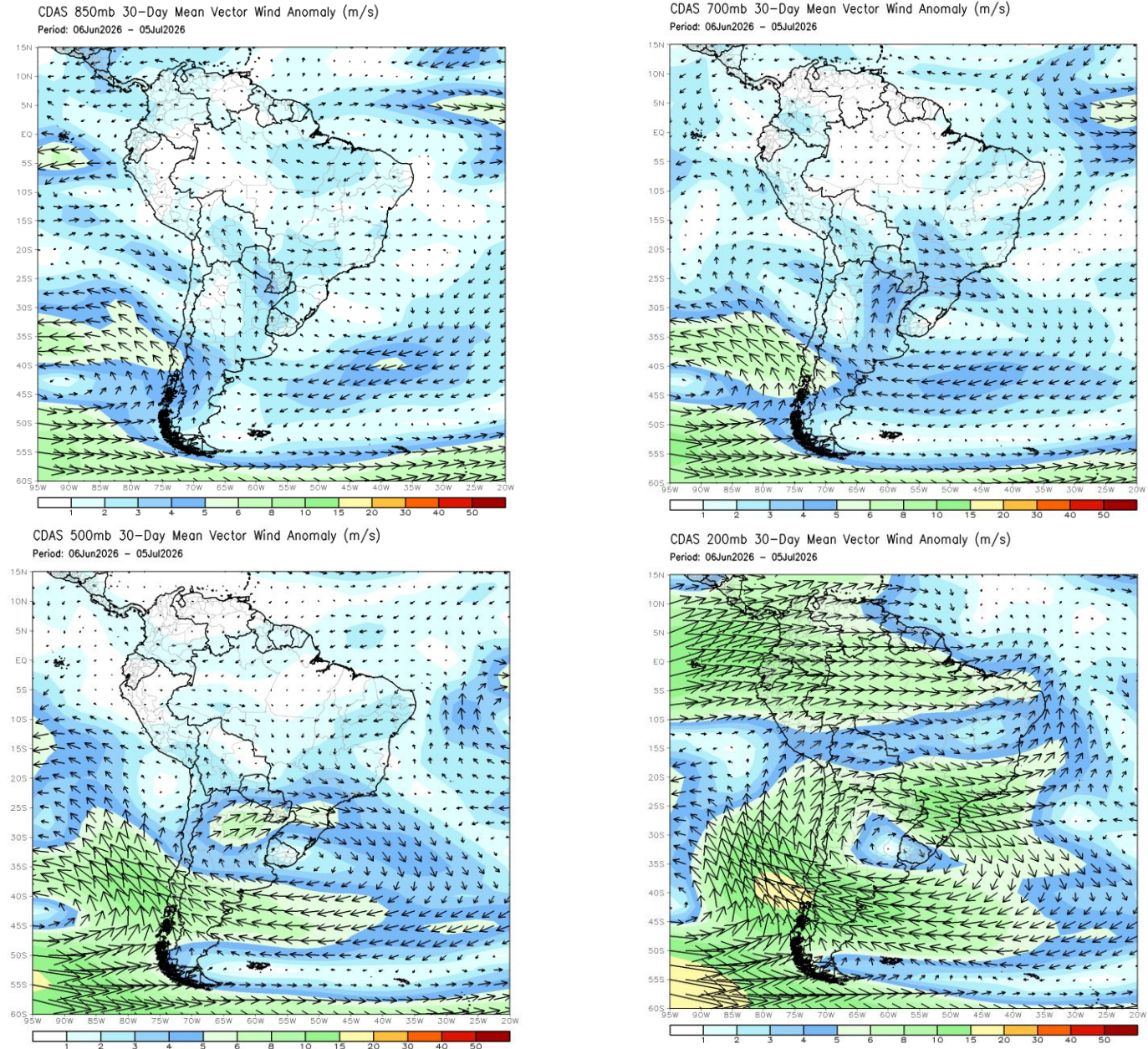
ANOMALÍA DEL VIENTO

Durante el periodo analizado Este mapa de desviaciones respecto a la climatología revela las alteraciones de flujo que inhibieron las lluvias generales, pero permitieron eventos convectivos locales (**Figura 8**).

Nivele bajo (850 hPa): Las anomalías de componente Este y Sureste en el Caribe continental y marítimo representaron un fortalecimiento anómalo de los Alisios, actuando como un mecanismo de barrido que impidió la acumulación de humedad e inhibió las lluvias en el norte del país. En contraste, los vientos anómalos débiles (calma relativa) en la porción meridional (sur de la Amazonía) redujeron la dispersión de humedad, mientras que la circulación ciclónica de la Baja de Panamá en el Pacífico norte apoyó la convergencia local, facilitando el ascenso de masas de aire en el occidente.

Niveles medio-bajo (700 hPa): Las anomalías de componente Sureste dominaron el centro y sur del país, registrando velocidades importantes en el suroccidente y el Pacífico; este flujo potenció la advección de humedad, apoyando el desarrollo de precipitaciones en la franja meridional. Por el contrario, en el Mar Caribe predominaron vientos anómalos del Este (más veloces en el nororiente), reforzando la estabilidad en capas medias que inhibió la nubosidad profunda. Finalmente, la transición entre el norte de la región Andina y el Caribe se caracterizó por vientos débiles, limitando el forzamiento mecánico y consolidando el tiempo seco en el norte y centro del territorio nacional.

Figura 8. Anomalía del viento vectorial (m/s) promedio de 30 días para diferentes niveles



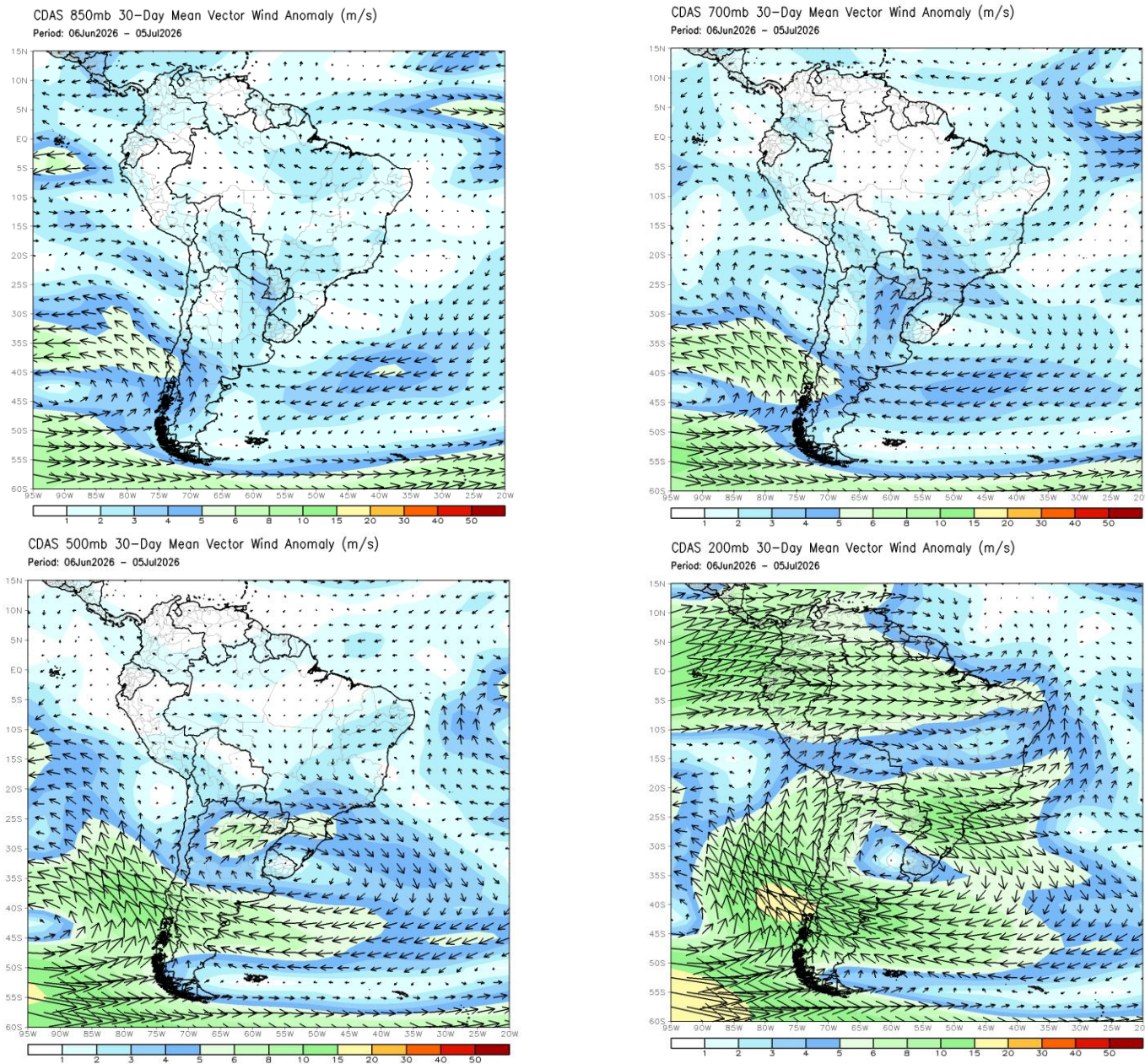
Fuente: Climate Prediction Center, NOAA (2026). CDAS-30 Day Mean Vector Wind Anomaly (m/s).
Disponible en: https://www.cpc.ncep.noaa.gov/products/international/cdas/cdas_30day_sam_850wind_anom.gif.

ANOMALÍA DEL VIENTO

Media tropósfera (500 hPa): El predominio de anomalías del Este y Sureste en la Amazonía, la Orinoquía y el centro de la región Andina actuó como un flujo seco continental que barrió la humedad e introdujo cizalladura vertical, inhibiendo drásticamente la convección organizada. Las anomalías débiles en el norte mantuvieron un régimen de alta estabilidad, pero por la compañía de aire seco y polvo Sahariano.

Nivel alto (200 hPa): Aunque se identificó difluencia por dirección, el fuerte gradiente de velocidad de los vientos anómalos del Oeste (disminuyendo de occidente a oriente) generó un entorno de convergencia de momento que indujo subsidencia dinámica, actuando como el principal inhibidor de las lluvias a gran escala sobre el centro y norte del territorio.

Figura 8. Anomalia del viento vectorial (m/s) promedio de 30 días para diferentes niveles



Fuente: Climate Prediction Center, NOAA (2026). CDAS-30 Day Mean Vector Wind Anomaly (m/s).
Disponible en: https://www.cpc.ncep.noaa.gov/products/international/cdas/cdas_30day_sam_850wind_anom.gif.

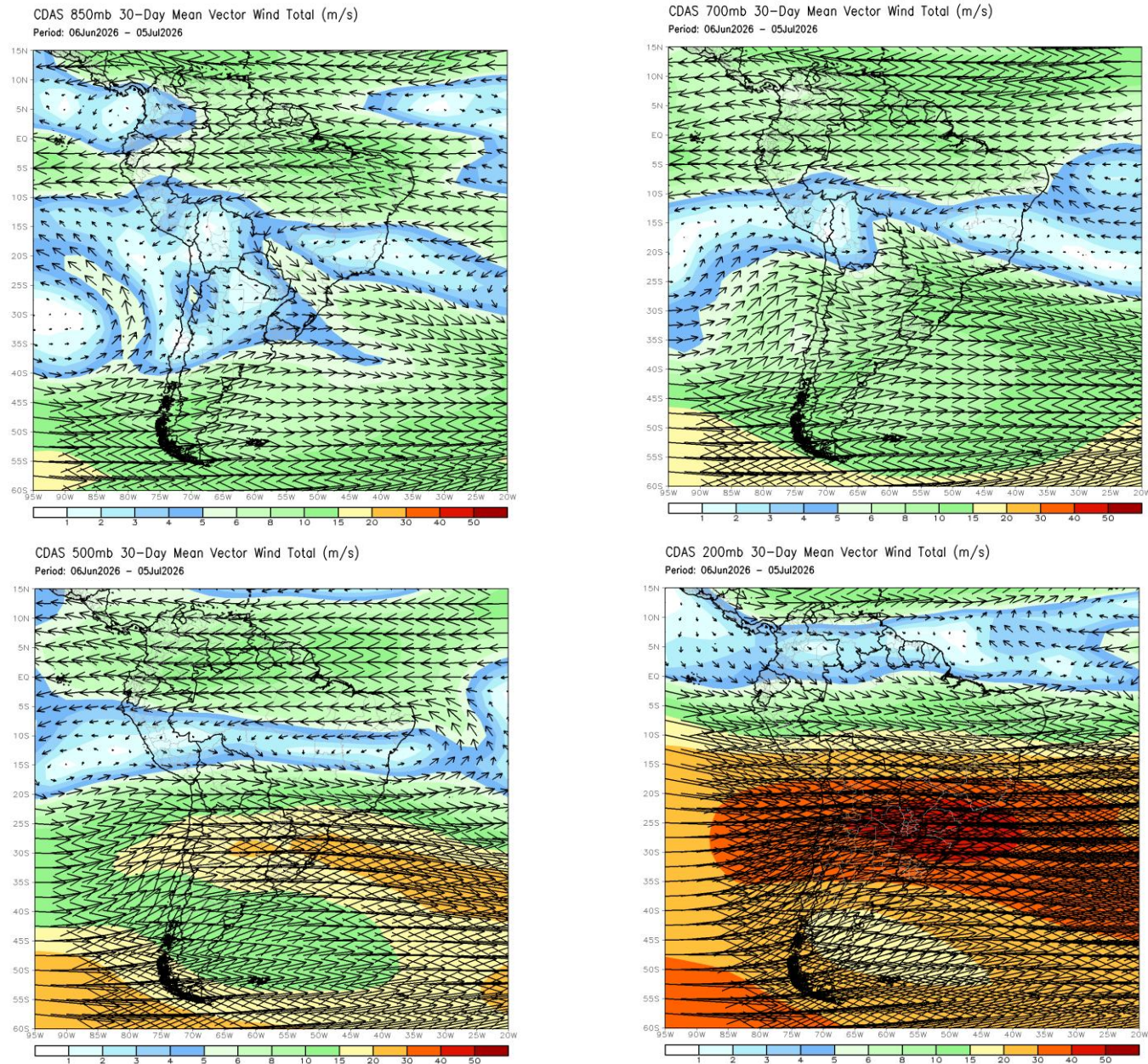
COMPORTAMIENTO MENSUAL DEL VIENTO

Este mapa del viento real promedio ilustra el flujo neto que transportó, dispersó o ventiló las masas de aire húmedo sobre el territorio colombiano (Figura 9).

Nivel Bajo (850 hPa): El flujo real del Este se aceleró intensamente sobre el Caribe marítimo, configurando un jet de bajo nivel que barrió la humedad costera hacia el oeste, inhibiendo las precipitaciones. Los vientos del Este que ingresaron por el oriente sufrieron una desaceleración gradual hacia el interior del país hasta disiparse casi por completo (calma) en el Pacífico. Esta desaceleración forzó una intensa convergencia orográfica que apoyó las lluvias en la vertiente Pacífica y el sur de la región Andina.

Nivel Medios (700 y 500 hPa): En ambos niveles predominó un flujo real casi zonal del Este con altas velocidades sobre la totalidad del país. Este chorro rectilíneo de capas medias funcionó como un potente canal de barrido horizontal de humedad, impidiendo que el aire húmedo ascendiera y se saturara verticalmente. Este fue el principal factor sinóptico que inhibió la consolidación de anomalías positivas en casi la totalidad de Colombia.

Figura 9. Viento vectorial total (m/s) promedio de 30 días para diferentes niveles

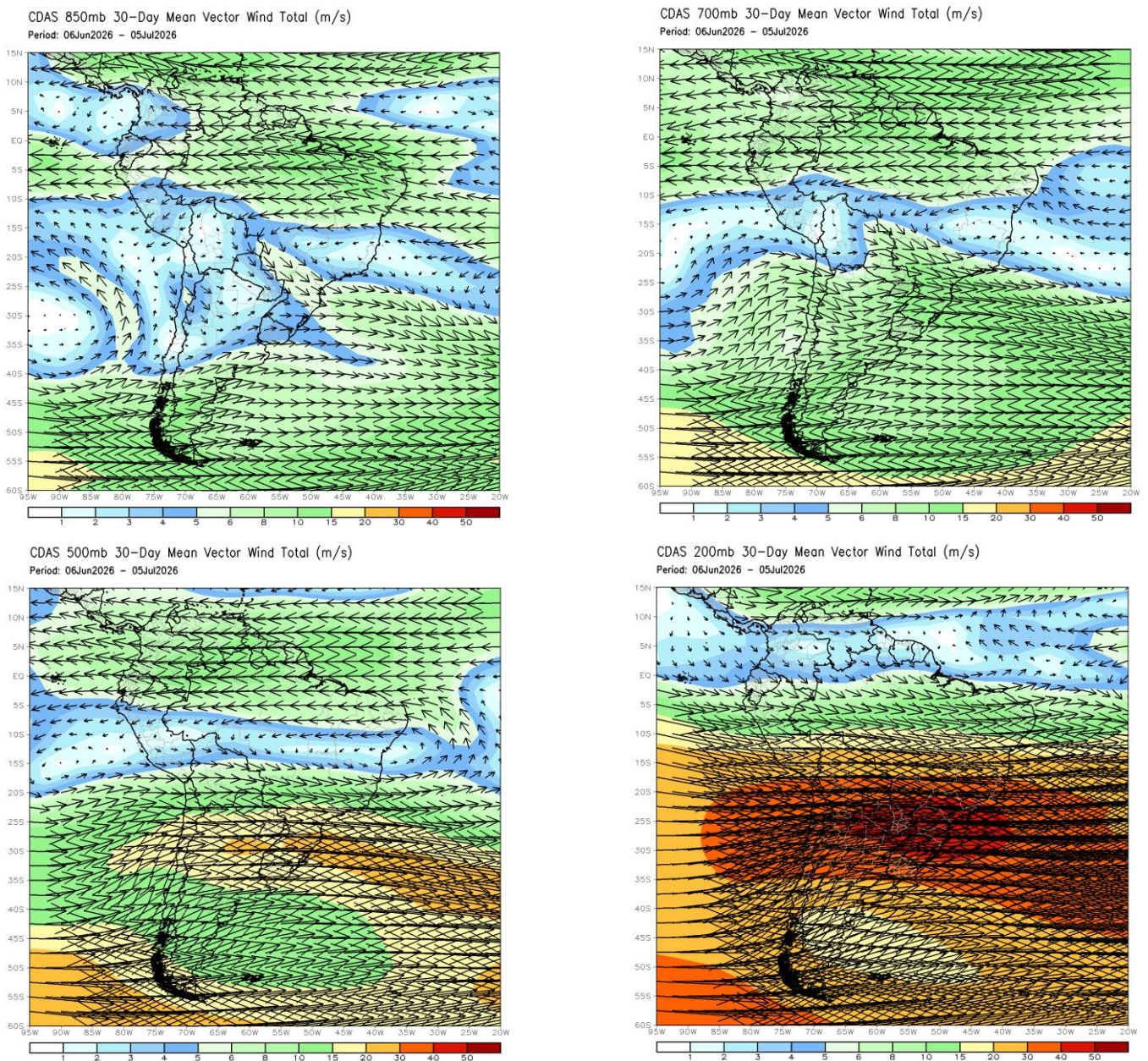


Fuente: Climate Prediction Center, NOAA (2026). CDAS- 30 Day Mean Vector Wind Total (m/s).
Disponible en: https://www.cpc.ncep.noaa.gov/products/international/cdas/cdas_30day_sam_850wind_obs.gif

COMPORTAMIENTO MENSUAL DEL VIENTO

Nivel Alto (200 hPa): El flujo real del Noroeste disminuyó su velocidad de oeste a oriente sobre el norte y centro del país, forzando un descenso de aire (subsistencia) que inhibió las precipitaciones. Por el contrario, se consolidó una franja de difluencia y divergencia muy marcada desde el centro hacia el sur del país, cuya divergencia superior funcionó como apoyó y ventiló verticalmente la convección, explicando los núcleos de lluvia extrema en el sur andino y la porción meridional de la Amazonía.

Figura 9. Viento vectorial total (m/s) promedio de 30 días para diferentes niveles



Fuente: Climate Prediction Center, NOAA (2026). CDAS- 30 Day Mean Vector Wind Total (m/s). Disponible en: https://www.cpc.ncep.noaa.gov/products/international/cdas/cdas_30day_sam_850wind_obs.gif

ZONA DE CONVERGENCIA INTERTROPICAL (ZCIT)

El análisis de las cartas de superficie del NHC (**Figura 10**) para los días 1, 10, 20 y 30 de junio permite identificar los sistemas meteorológicos de escala sinóptica que determinaron el comportamiento meteorológico del país durante este periodo.

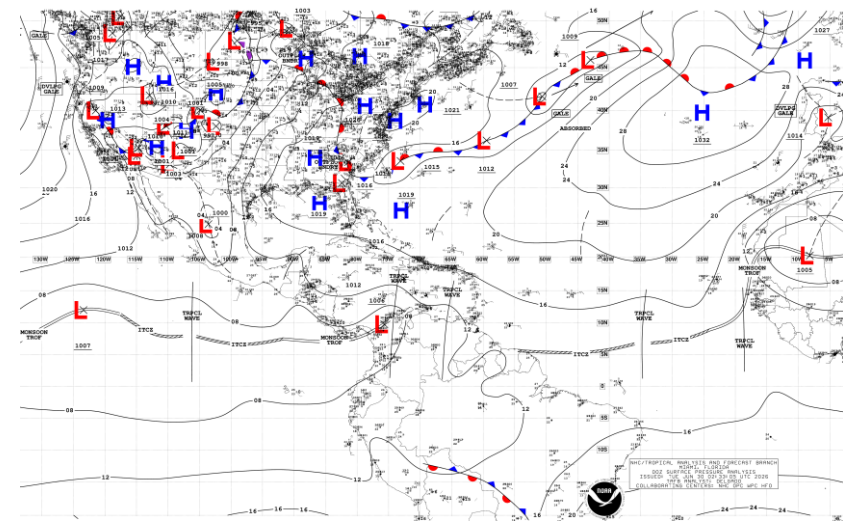
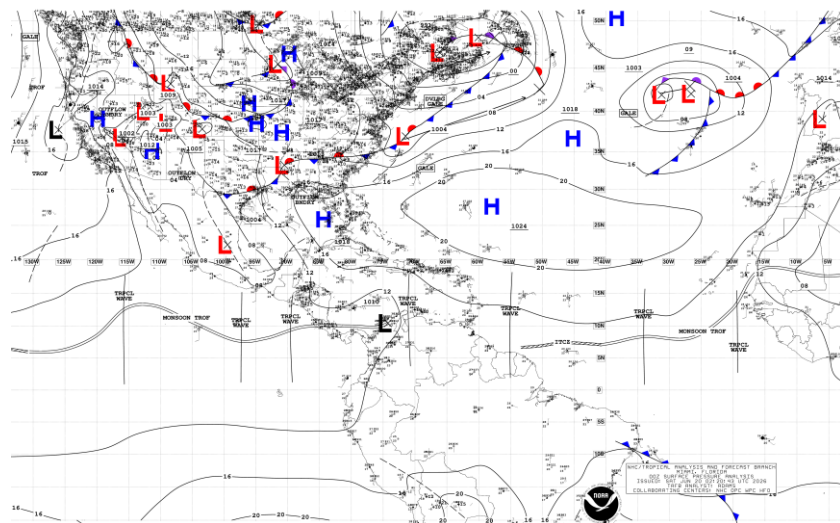
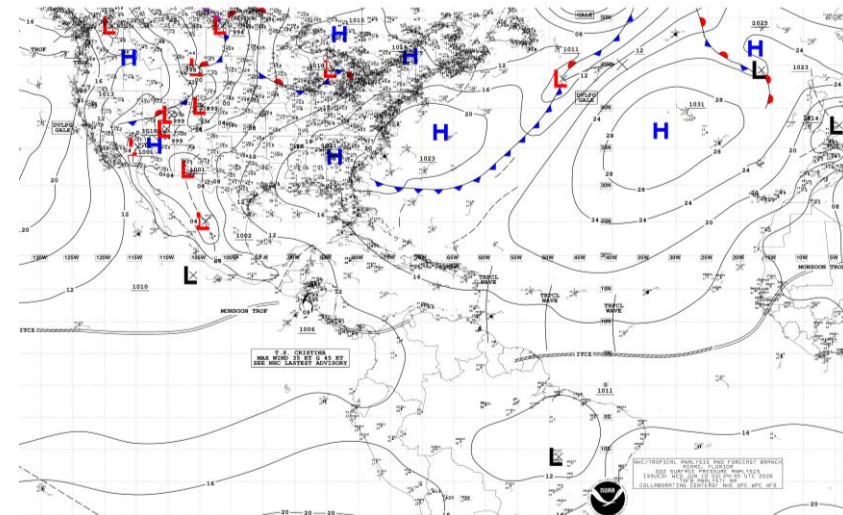
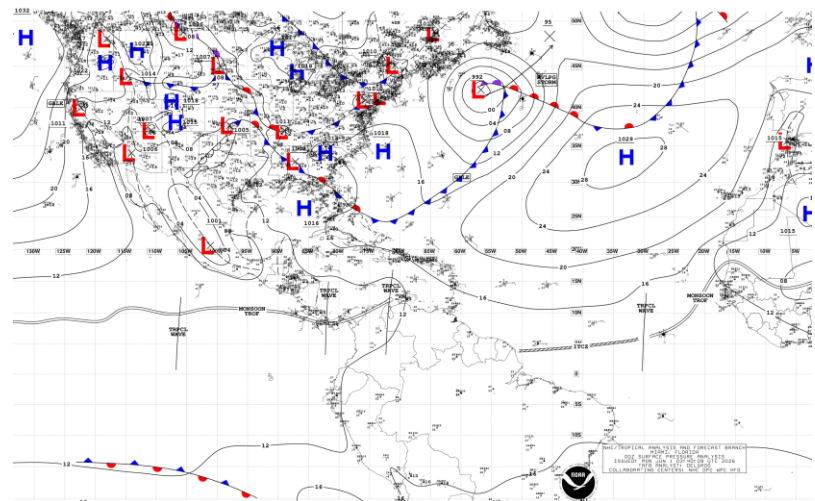
Durante el mes, la **Vaguada Monzónica se mantuvo muy activa**, oscilando latitudinalmente entre el norte del Océano Pacífico y las áreas marítimas y continentales de la región Caribe. Este sistema, en combinación con la **Baja de Panamá**, actuó como el principal inductor de inestabilidad y convergencia en niveles bajos, facilitando el ingreso de aire húmedo hacia dichas zonas. En el Océano Atlántico, la **Zona de Convergencia Intertropical (ZCIT)** fluctuó activamente en una franja latitudinal entre los 0° y los 7°N, modulando los pulsos meridionales de humedad.

Se evidenció un fuerte control del cinturón de **Altas presiones subtropicales** en el Atlántico Norte. El marcado gradiente de presión generado entre estos anticiclones y la Baja del Darién fue el motor que impulsó de manera constante la formación de **jets de bajo nivel en el Caribe**. Estos vientos acelerados del Este actuaron como un mecanismo de "barrido", transportando masas de aire seco e intrusiones de **Polvo del Sahara** sobre la cuenca del Caribe y el norte del país, lo que suprimió la formación de nubosidad profunda y consolidó las anomalías negativas de lluvia y el calentamiento diurno extremo en varias zonas del país.

La primera quincena de junio estuvo caracterizada por una alta actividad ondulatoria, registrándose el tránsito de **aproximadamente 10 ondas tropicales** a lo largo del mes.

Respecto a los sistemas de latitudes medias, la **actividad frontal** en el hemisferio norte fue escasa cerca de Colombia, identificándose únicamente un sistema frontal estacionario en cercanías de las Antillas Menores. Por el contrario, en el hemisferio sur se registró la **incursión de dos sistemas frontales** (fríos continentales) moviéndose a través de la Amazonía brasileña y Bolivia, lo que generó inestabilidad indirecta en el extremo sur del país y favoreció la persistencia del núcleo húmedo en esa zona.

Figura 10. Cartas de superficie del NHC de las 00 UTC para los días 1, 10, 20 y 30 del mes



Fuente: National Hurricane Center, NOAA (2026). Análisis de superficie.
Disponible en: https://ftp.nhc.ncep.noaa.gov/tafb/surface_analysis/

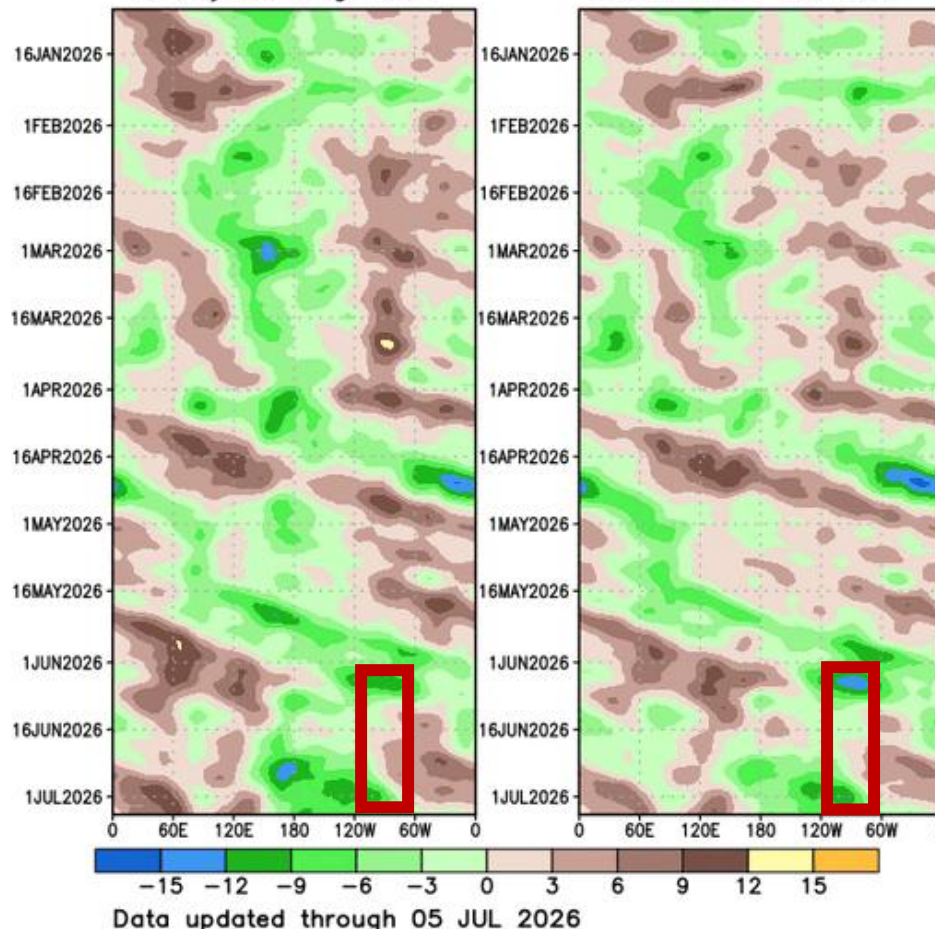
ANOMALÍA DE LA VELOCIDAD POTENCIAL (MJO)

El análisis conjunto de la **onda intraestacional (MJO)** y la dinámica de las **ondas atmosféricas** para el mes de **junio (Figuras 11 y 12)** explica en gran medida la dinámica de las precipitaciones.

El comportamiento de la **MJO** en la alta tropósfera muestra una transición que dividió el comportamiento meteorológico del mes en dos periodos opuestos. En el recuadro rojo, durante el primer tercio de junio (días 1 al 11), se observa un predominio de tonos verdes (**anomalías negativas del potencial de velocidad - fase convectiva**), lo que indica divergencia y difluencia en niveles altos, apoyando las precipitaciones. A partir del 11 de junio, tanto la media móvil como la removida muestran una transición rápida hacia tonos marrones (**anomalías positivas**). Esta señal es indicativa de **convergencia en niveles altos y subsidencia**, actuando como un inhibidor constante de la convección profunda en gran parte del territorio nacional durante el resto del mes. (ver Figura 11).

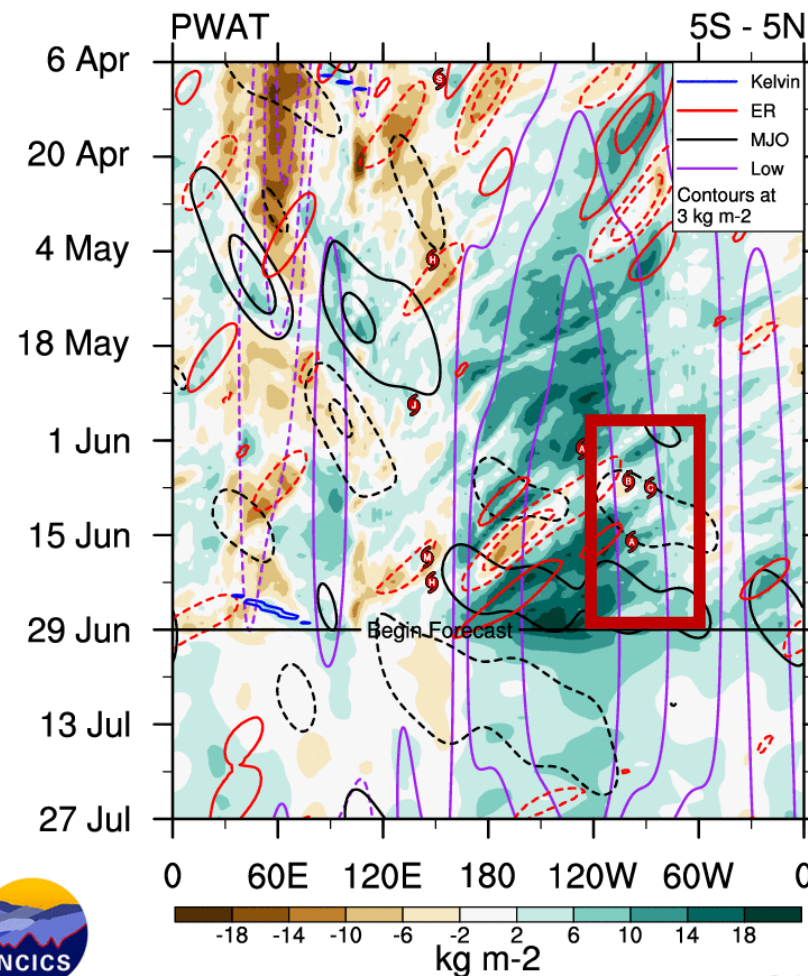
La **Figura 12** muestra un recuadro rojo, el cual destaca que la primera mitad de junio estuvo dominada por una **anomalía positiva de agua total precipitable** (color verde), lo que proporcionó un alto contenido de vapor de agua. Durante esta ventana húmeda inicial, se registró la superposición del contorno negro sólido —que representa la **envolvente convectiva de la MJO**— con el tránsito constante de **Ondas Ecuatoriales de Rossby (ER - contornos rojos)**. Esta combinación actuó como el detonante dinámico que organizó la humedad y causó eventos convectivos importantes. Mientras que, hacia la última semana, los contornos de ondas se debilitaron y la humedad descendió a valores neutros o secos, coincidiendo con la subsidencia generalizada.

Figura 11. Anomalia del potencial de velocidad a 200 hPa
200-hPa Velocity Potential Anomaly: 5N-5S
5-day Running Mean Period-Mean Removed



Fuente: Climate Prediction Center, NOAA (2026). Anomalia del potencial de velocidad a 200 hPa. Disponible en: https://www.cpc.ncep.noaa.gov/products/intraseasonal/vpot_tlon.shtml.

Figura 12. Anomalías de agua total precipitable y actividad de ondas atmosféricas del NCICS.



ncics.org/mjo

Tue 2026-06-30 10:11 UTC

Carl Schreck
carl_schreck@ncsu.edu

Fuente: North Carolina Institute for Climate Studies (2026). Archivo de Anomalías de Agua Precipitable y Actividad de Ondas Atmosféricas. Disponible en: <https://ncics.org/pub/mjo/archive/>.

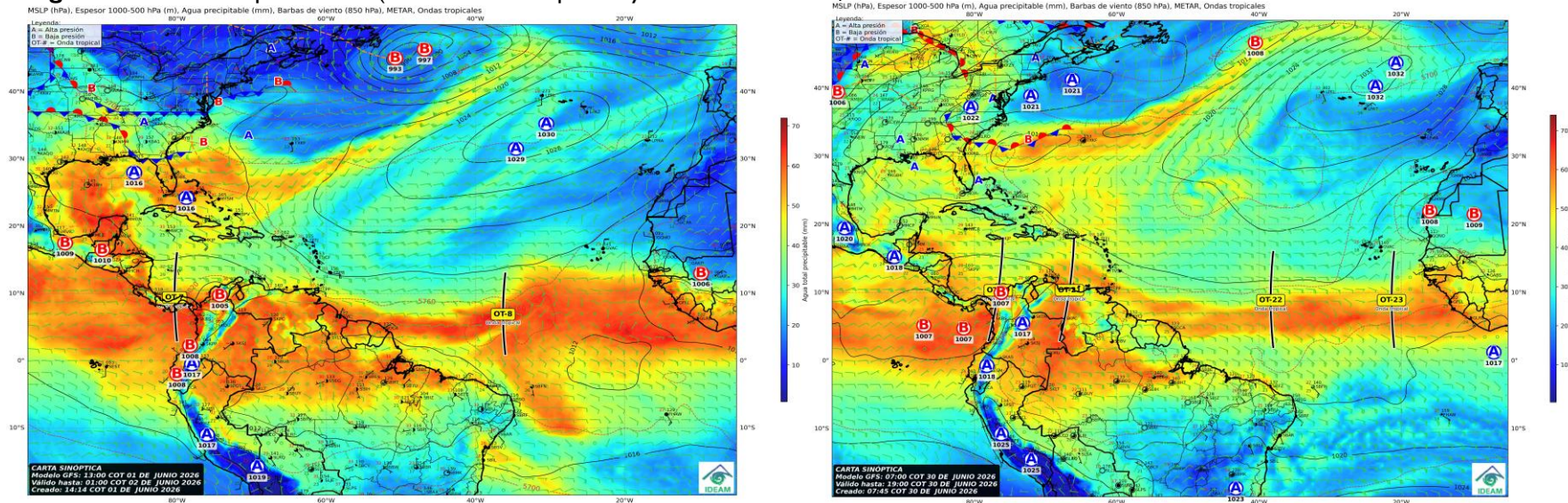
ONDAS TROPICALES Y SISTEMAS CICLÓNICOS

El seguimiento de las **ondas tropicales** para el mes de **junio** inició con la **onda tropical No. 7** abandonando el occidente del territorio colombiano, mientras que la **onda No. 8** se localizaba en el Atlántico central (**Figura 13-Izquierda**). Hacia el cierre del mes, se registró el tránsito de las **ondas No. 20 y 21** sobre el país con dirección al occidente, al tiempo que la onda No. 22 se ubicaba en el Atlántico central y la No. 23 en el Atlántico oriental (**Figura 13-Derecha**). De acuerdo con esta secuencia, la actividad mensual comenzó con la formación de la onda No. 9, lo que indica un total de **15 ondas tropicales desarrolladas en la cuenca** durante junio.

Cabe resaltar que, según el monitoreo del IDEAM (OSPA), las **ondas No. 10 y No. 13 se disiparon** debido a la fuerte influencia de aire seco y la advección de **Polvo del Sahara**, factores que generaron una marcada estabilidad atmosférica e impidieron su desarrollo. Asimismo, las **ondas No. 11 y No. 12 se fusionaron** durante su avance. Como consecuencia de estos procesos de interacción, **aproximadamente 10 ondas tropicales transitaron efectivamente por Colombia con actividad convectiva significativa**, actuando como los principales disparadores dinámicos de las lluvias locales en un mes con tendencia predominantemente seca.

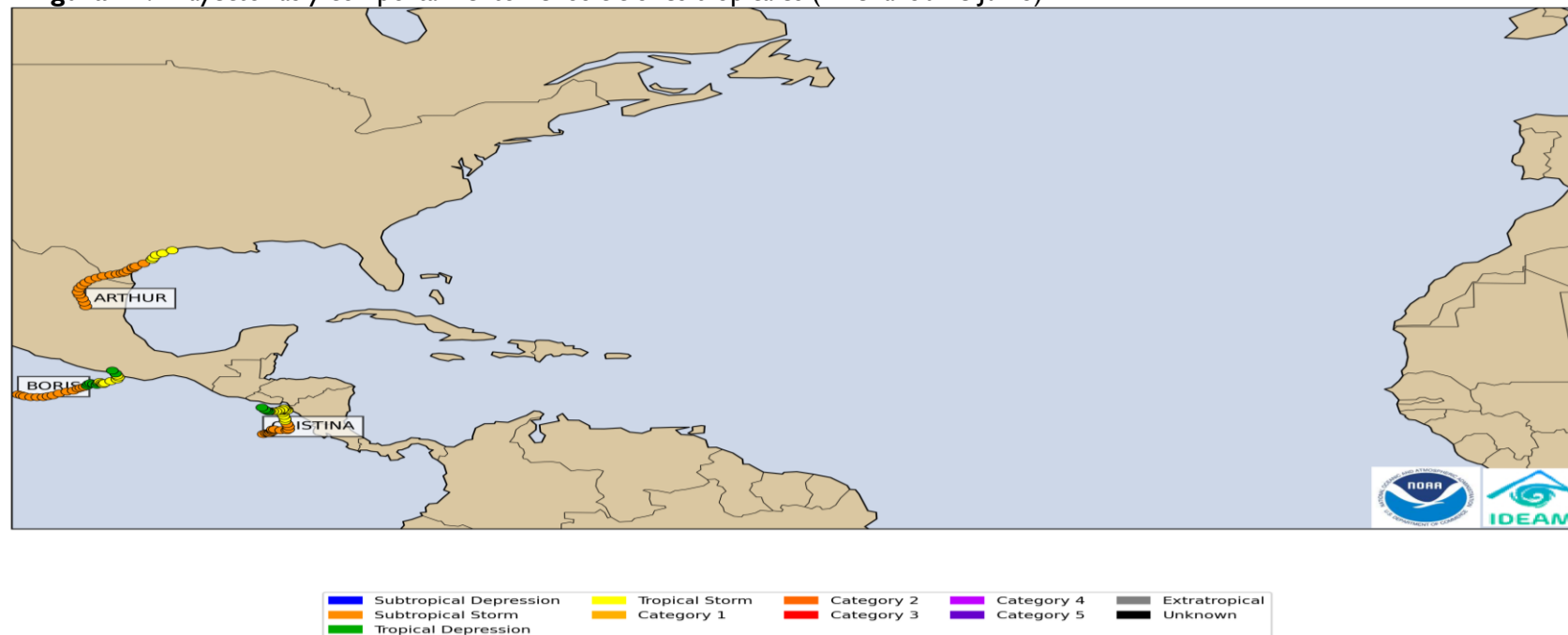
La **Figura 14** ilustra la trayectoria de los sistemas ciclónicos del mes. El 11 de junio se identificó una perturbación en el Golfo de México con una probabilidad inicial de desarrollo del 10%. Este sistema de baja presión evolucionó a Depresión Tropical el 16 de junio, intensificándose el día 17 como la **tormenta tropical Arthur**. El ciclón continuó su desplazamiento hacia el norte y se disipó el 18 de junio en el sureste de los Estados Unidos, **sin generar ninguna afectación directa ni indirecta sobre el territorio colombiano**.

Figura 13. Carta sinóptica OSPA (Inicio de mes-Izquierda y Final mes-Derecha)



Fuente: Grupo meteorología OSPA - Ideam

Figura 14. Trayectorias y comportamiento de los ciclones tropicales (1 de al 30 de junio)



Fuente: Grupo meteorología OSPA (Ideam) - NOAA

VISITA NUESTRAS REDES SOCIALES



InstitutoIDEAM



@IDEAMColombia



IdeamColombia



Ideam.Instituto

RESUMEN BOLETÍN DE LA SITUACIÓN SINÓPTICA MENSUAL

Ghisliane Echeverry Prieto | Directora General
Jennifer Dorado Delgado | Jefe Oficina del Servicio de Pronósticos y Alertas

Elaboró:
Alexander M. Martínez Mercado

Colaboradores:
Grupo de datos
Profesionales de incendios y deslizamientos

OFICINA DEL SERVICIO DE PRONÓSTICO Y ALERTAS

<http://www.ideam.gov.co>

Correos electrónicos: servicio@ideam.gov.co, alertas@ideam.gov.co

Calle 25D N° 96B - 70, piso 3. Bogotá, D.C.

Teléfono: 3075625 ext. 1334 -1336.